

TA×4 SDによる大天頂角 空気シャワー事象の再構成手法の構築

2024/3/26 空気シャワー研究会

ICRR 小山千里

TA × 4 実験への拡張

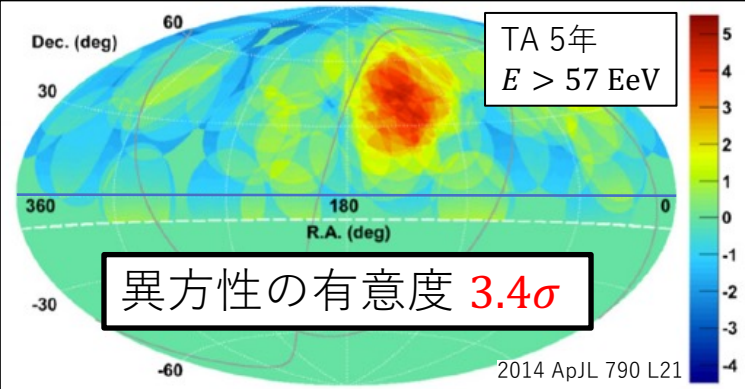
TA × 4 (TA times 4) 実験

TA実験に比べアレイの面積を4倍に拡張
→最高エネルギー宇宙線に特化した観測

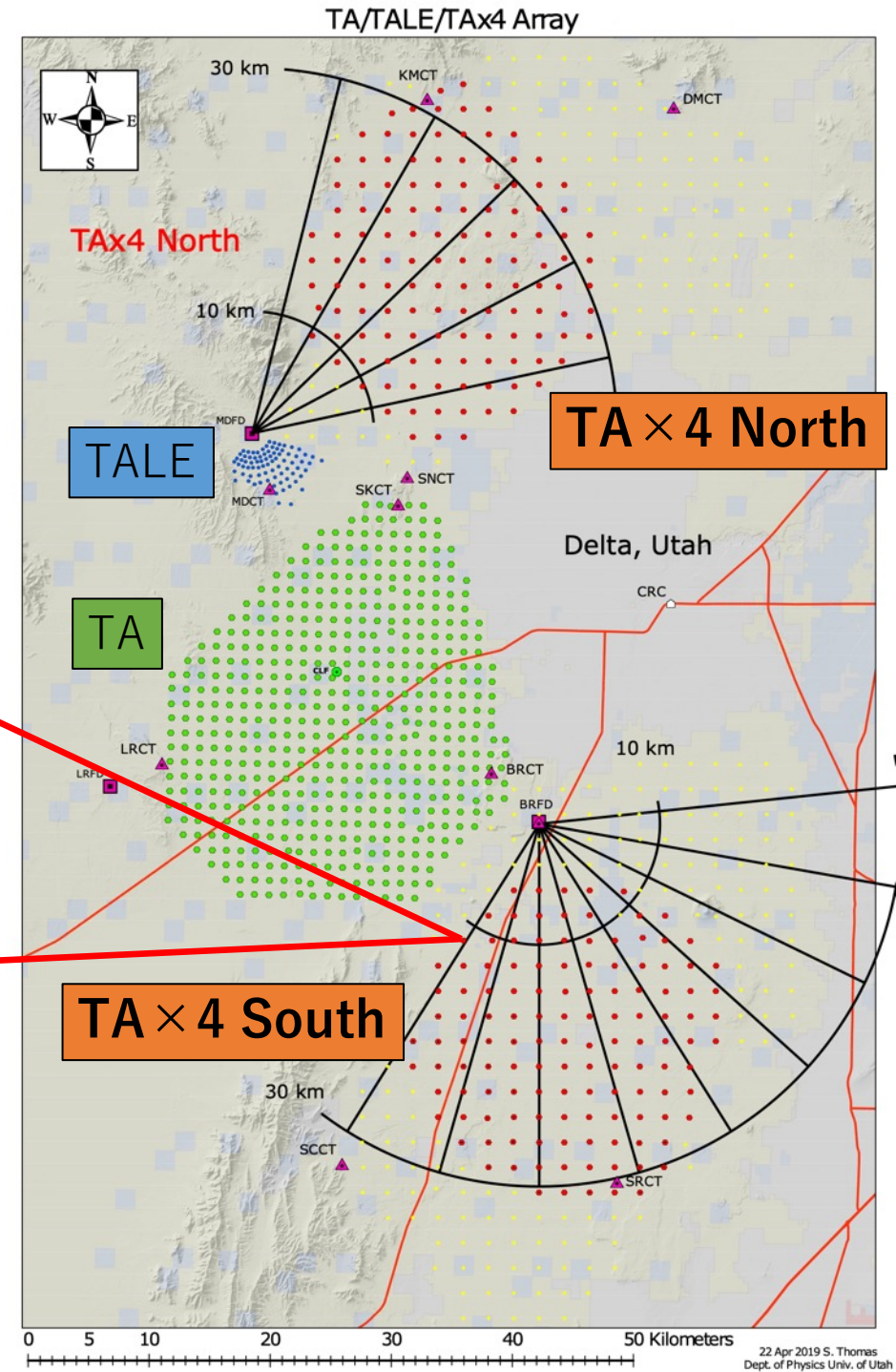
TA × 4 SD

- 500台を2.08 km間隔で設置
- 2019年にうち257台(TAの~2.5倍)を設置
- 6つのサブアレイとTA SDで構成
- 完成後は~**2800 km²**をカバー

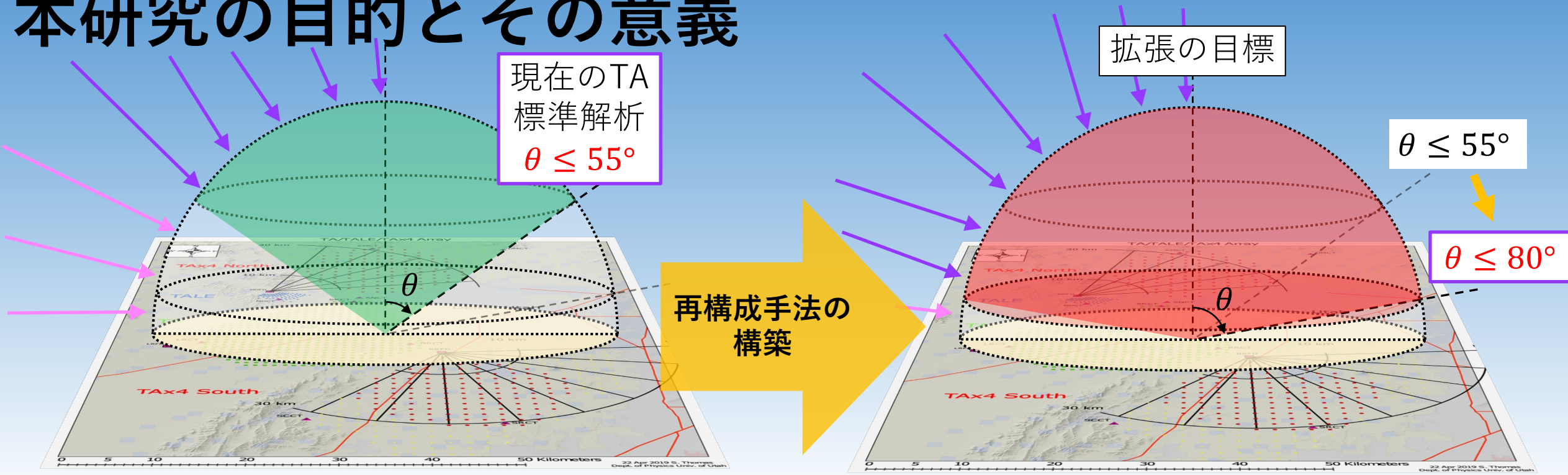
TA実験の異方性解析の例：TA hotspot



TA × 4で
異方性の確証
($> 5\sigma$)を目指す



本研究の目的とその意義

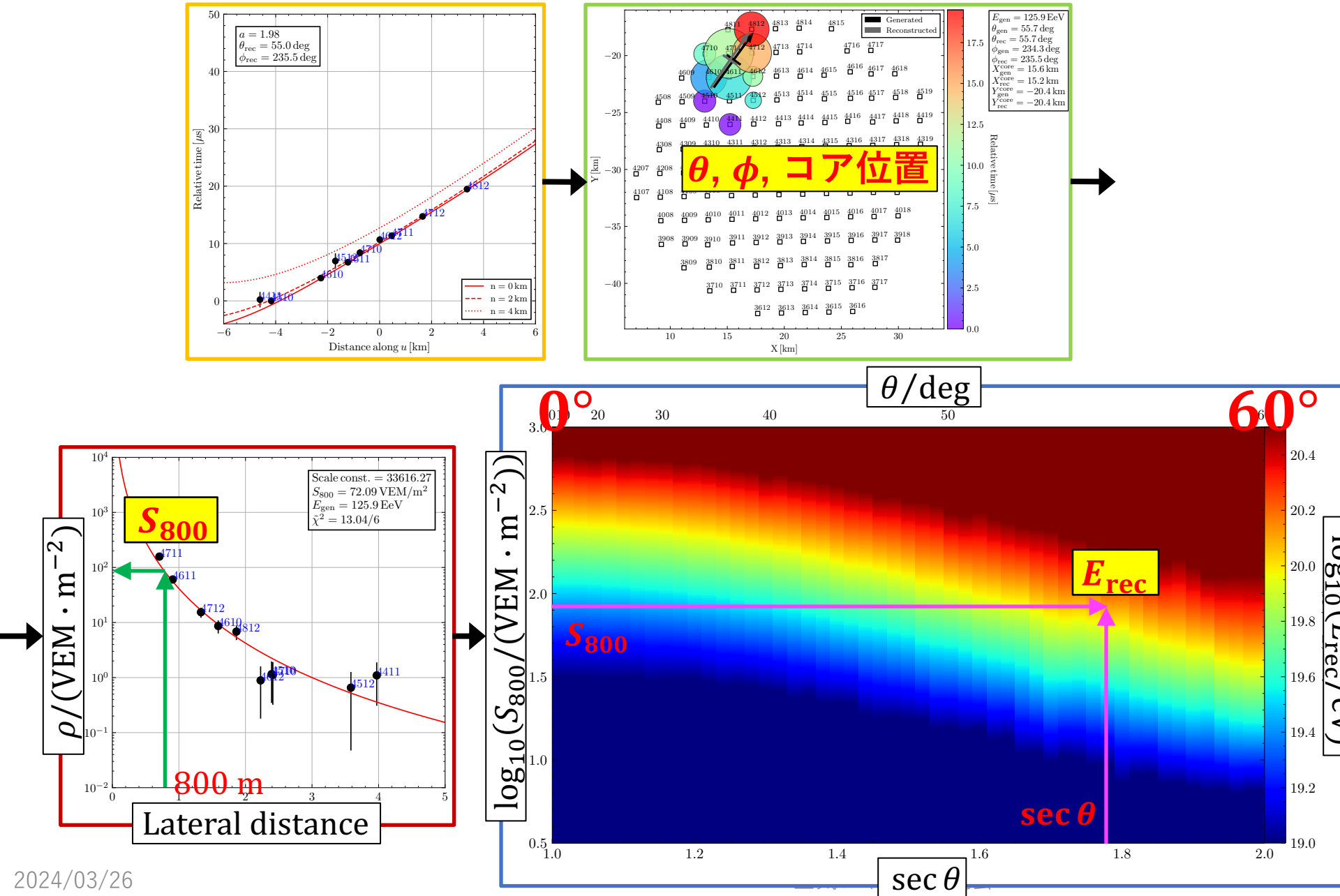


55°から80°までの拡張で…

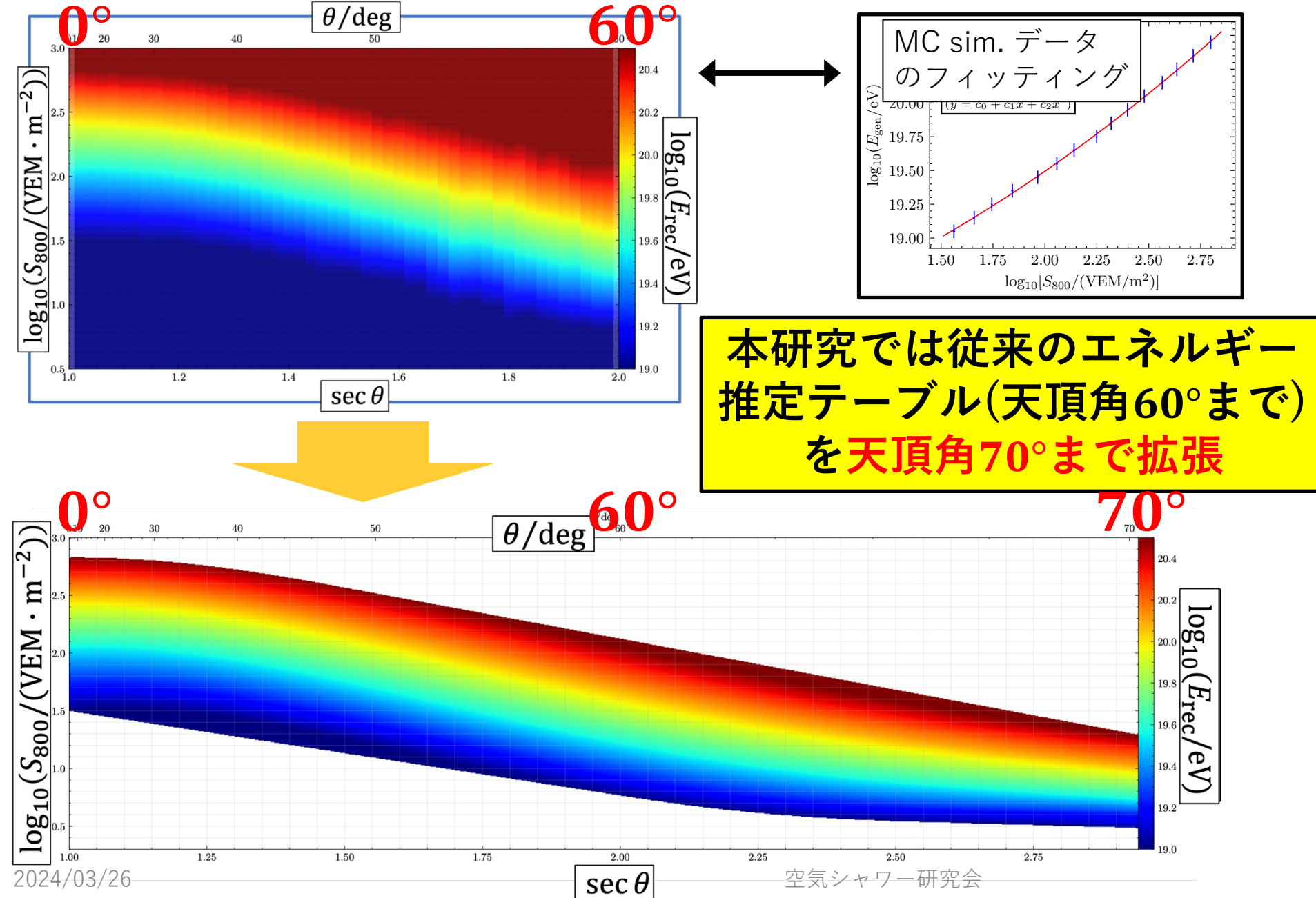
有効面積はおよそ**1.5倍** ⇒ TA×4完成後は**TAの6倍**の面積をカバー
また、過去にも遡って面積が拡大(↔ 検出器の新設) ⇒ **TA×4 SD 4年 → 6年**
さらに、TA SDの解析にも手法を応用可能 ⇒ **TA SD 15.5年 → 23年**

本研究の目的は、TA×4 SDによる
大天頂角空気シャワー事象の再構成手法の確立

TA × 4 SDの事象再構成



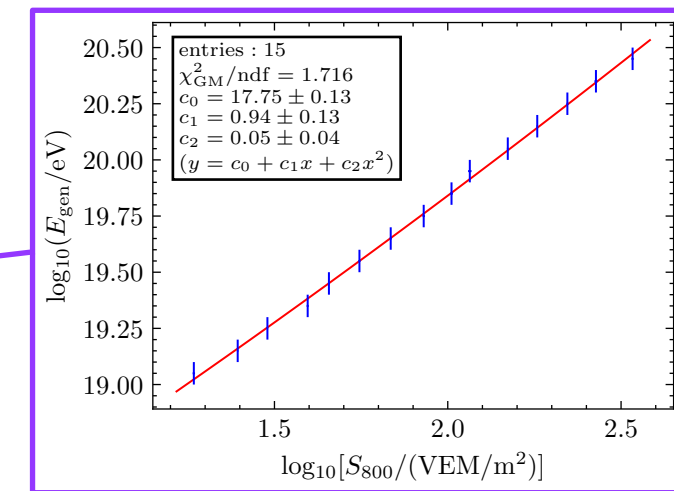
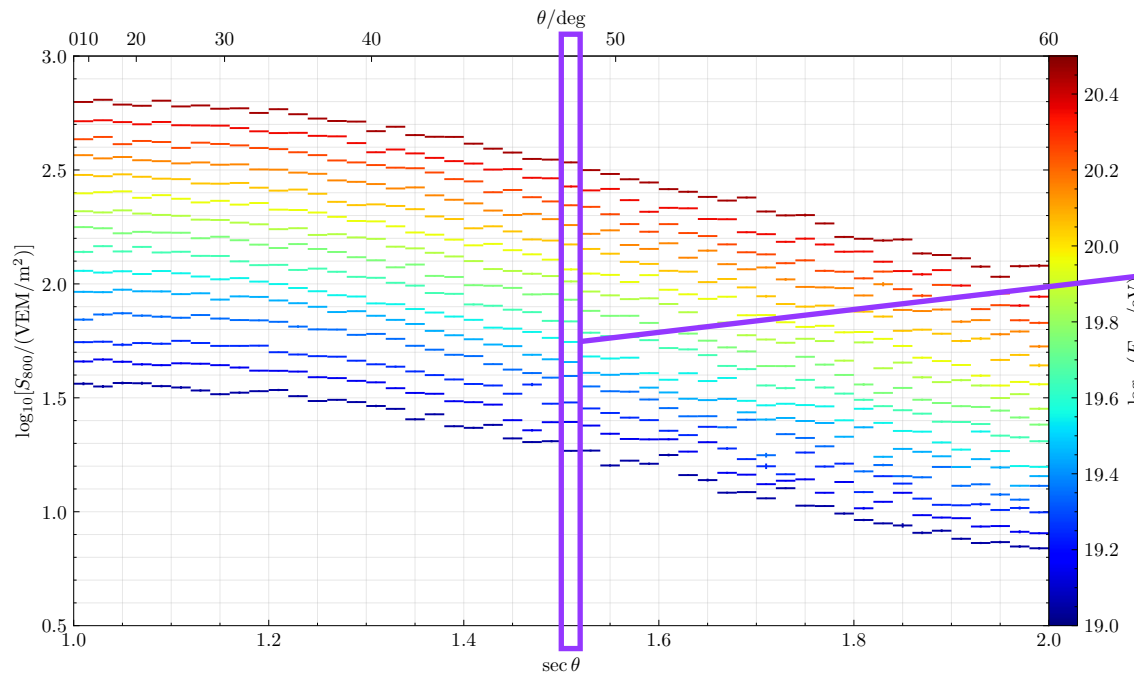
エネルギー推定テーブルの拡張



エネルギー推定テーブルの拡張

大天頂角側に拡張する方法

- ① オリジナルと同様, $\sec \theta$ ごとに分割しフィットを行う
 - 方法の変更がない × MCデータの大量生成が必要 例) 70°までの拡張でデータ数は約2倍
- ② 従来の $\sec \theta$ ごとに分割してフィットする方法からエネルギーごとに分けてフィットする方法に変更
 - 大天頂角側に外挿できれば、必ずしも新しいMCデータを必要としない × フィットの方法を変更する必要がある

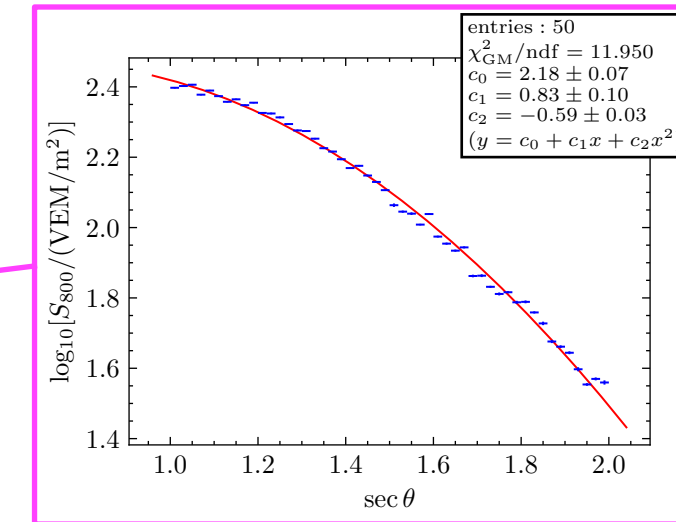
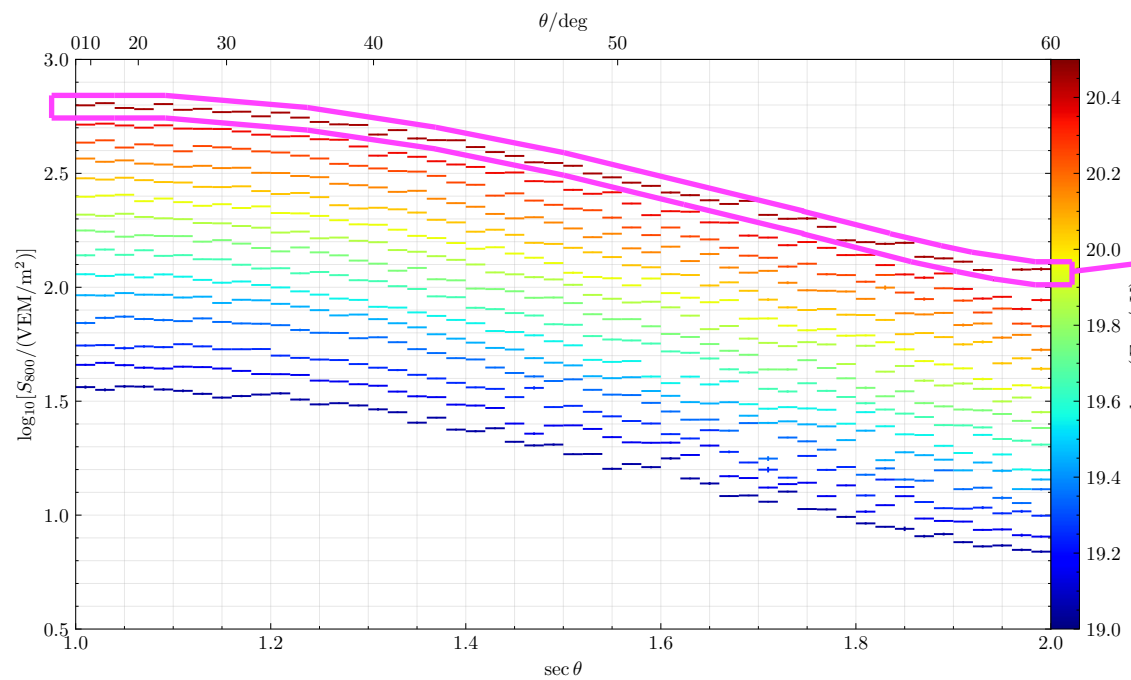


$\sec \theta$ とエネルギーを細かく分割し各ビン
の中で S_{800} の平均を計算
→ エネルギーを S_{800} の関数としてフィット

エネルギー推定テーブルの拡張

大天頂角側に拡張する方法

- ① オリジナルと同様, $\sec \theta$ ごとに分割しフィットを行う
 - 方法の変更がない ×MCデータの大量生成が必要 例) 70°までの拡張でデータ数は約2倍
- ② 従来の $\sec \theta$ ごとに分割してフィットする方法から**エネルギーごとに分けて**フィットする方法に変更
 - 大天頂角側に外挿できれば、必ずしも新しいMCデータを必要としない
×フィットの方法を変更する必要がある



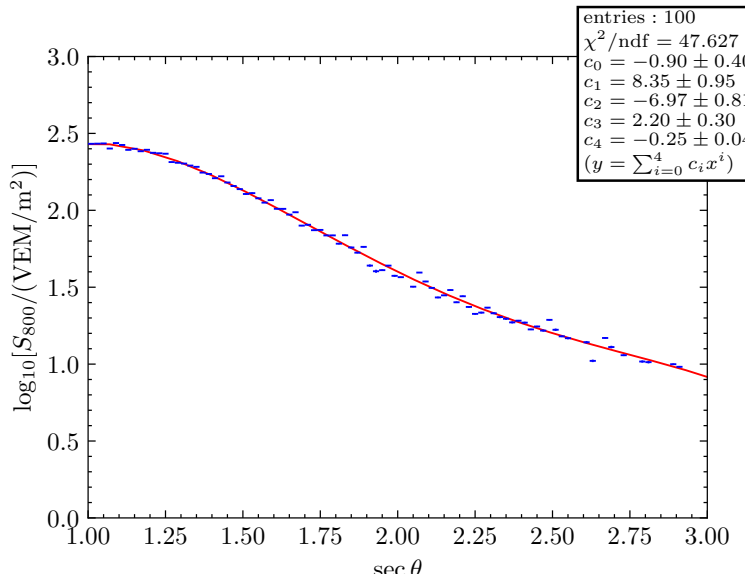
$\sec \theta$ とエネルギーを細かく分割し各ビン
の中で S_{800} の平均を計算
 $\rightarrow S_{800}$ を $\sec \theta$ の関数としてフィット

エネルギー推定テーブルの拡張

大天頂角側に拡張する方法

- ① オリジナルと同様, $\sec \theta$ ごとに分割しフィットを行う
 - 方法の変更がない \times MCデータの大量生成が必要 例) 70° までの拡張でデータ数は約2倍
- ② 従来の $\sec \theta$ ごとに分割してフィットする方法から**エネルギーごとに分けて**
フィットする方法に変更
 - 大天頂角側に外挿できれば、必ずしも新しいMCデータを必要としない
 \times フィットの方法を変更する必要がある

エネルギーごと細かく分割して $\sec \theta$ - S_{800} をプロット ($\theta \leq 70^\circ$)
& S_{800} を $\sec \theta$ の関数として**4次の多項式**でフィット

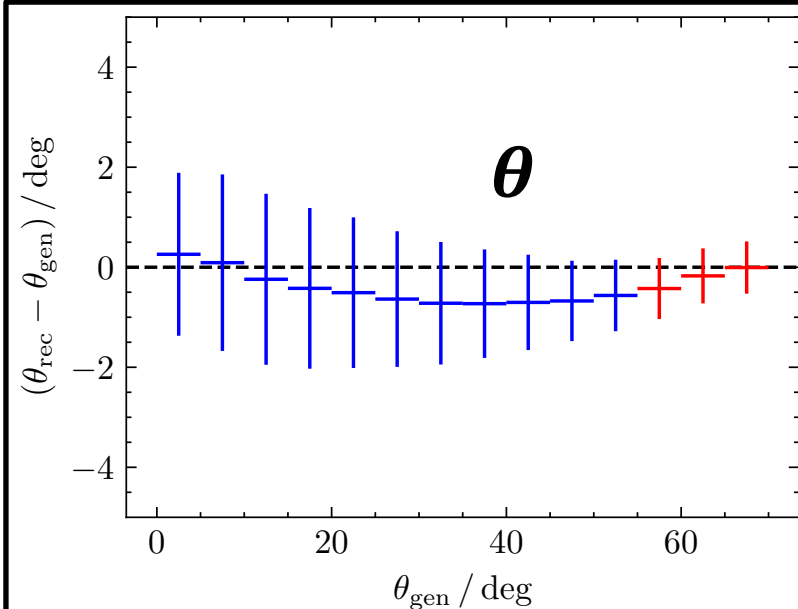


エネルギーは対数で0.1ずつ, $\sec \theta$ は0.02ずつ
分割し各ビンの中で S_{800} の平均を計算

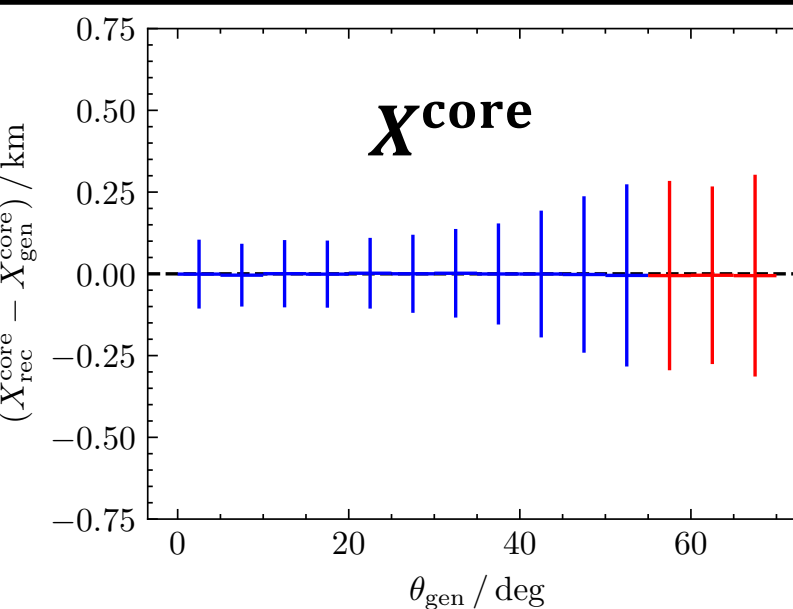
→ S_{800} を $\sec \theta$ の関数としてフィット
(左図は $19.95 \leq \log_{10}(E_{\text{gen}}/\text{eV}) < 20.05$ の例)

再構成精度の検証

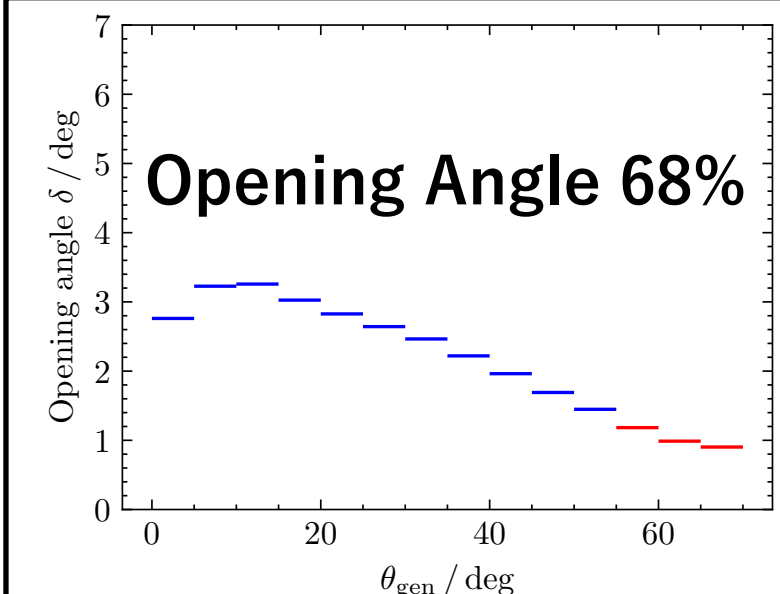
$E_{\text{gen}} = 10^{20.1} \text{ eV}$ の例



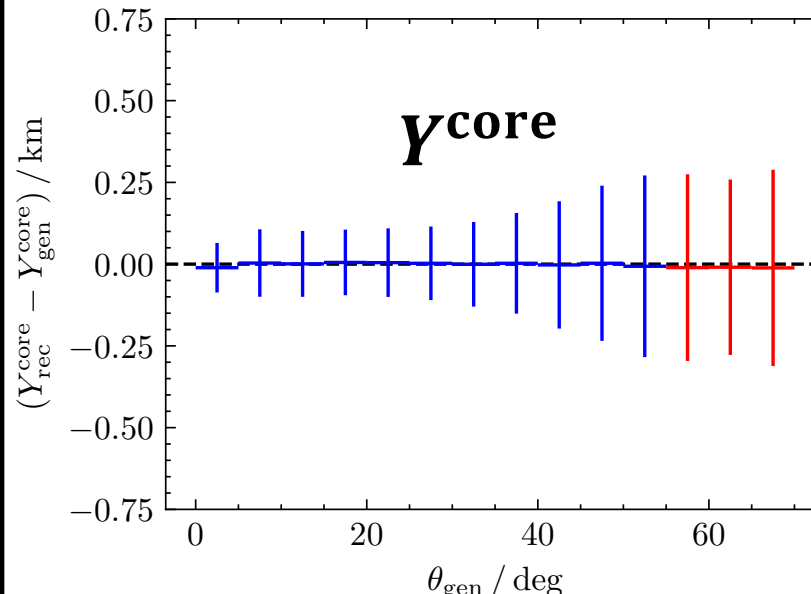
θ



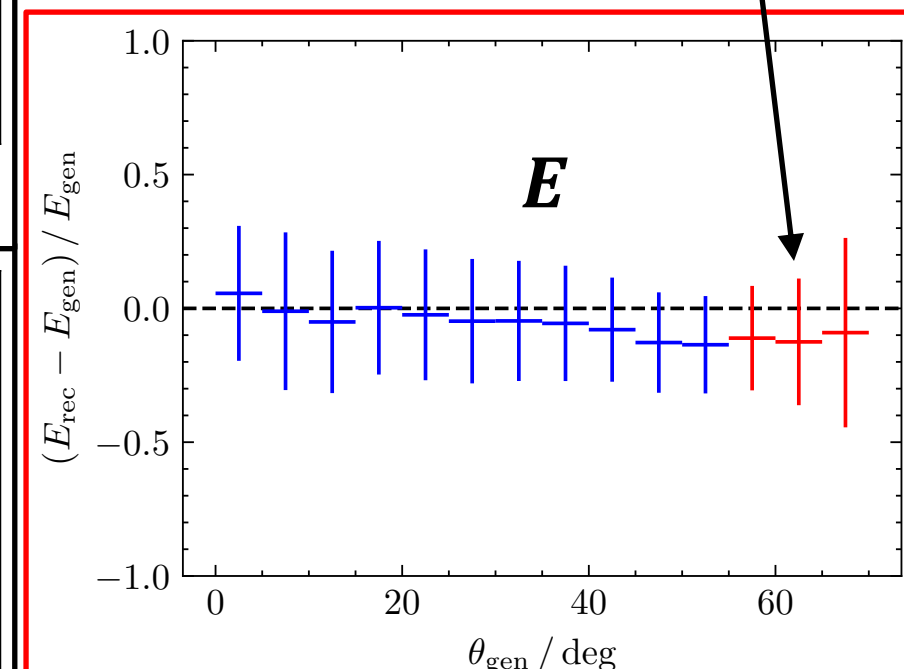
X^{core}



Opening Angle 68%



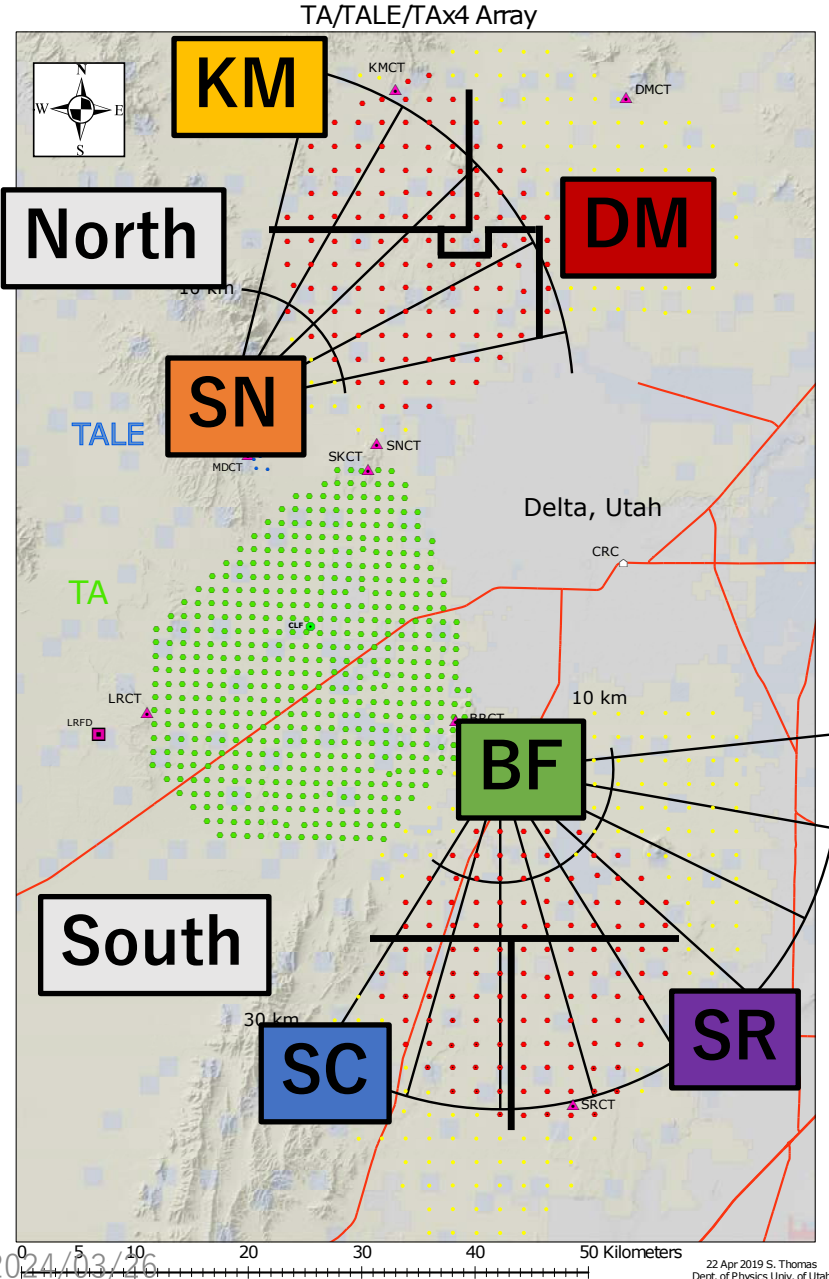
y^{core}



E

Entries : 17938
Mean : -0.125
SD : 0.237

Data/MC 比較



Data

実データ

	北側アレイ(North)	南側アレイ(South)
実データ	KM DM SN	BF SR SC
観測期間 [yymmdd]	191008- 221031	191026- 221031
地表面積 [km ²]	~120	~40
	~230	~150
	~140	~110

MC

シミュレーション
データ

実データと同じ観測期間
TA実験の11年間スペクトルで重み付け
通信塔間トリガーシステムは未実装

一次粒子：陽子

相互作用モデル：QGSJETII-04

天頂角： $0^\circ \leq \theta \leq 70^\circ$

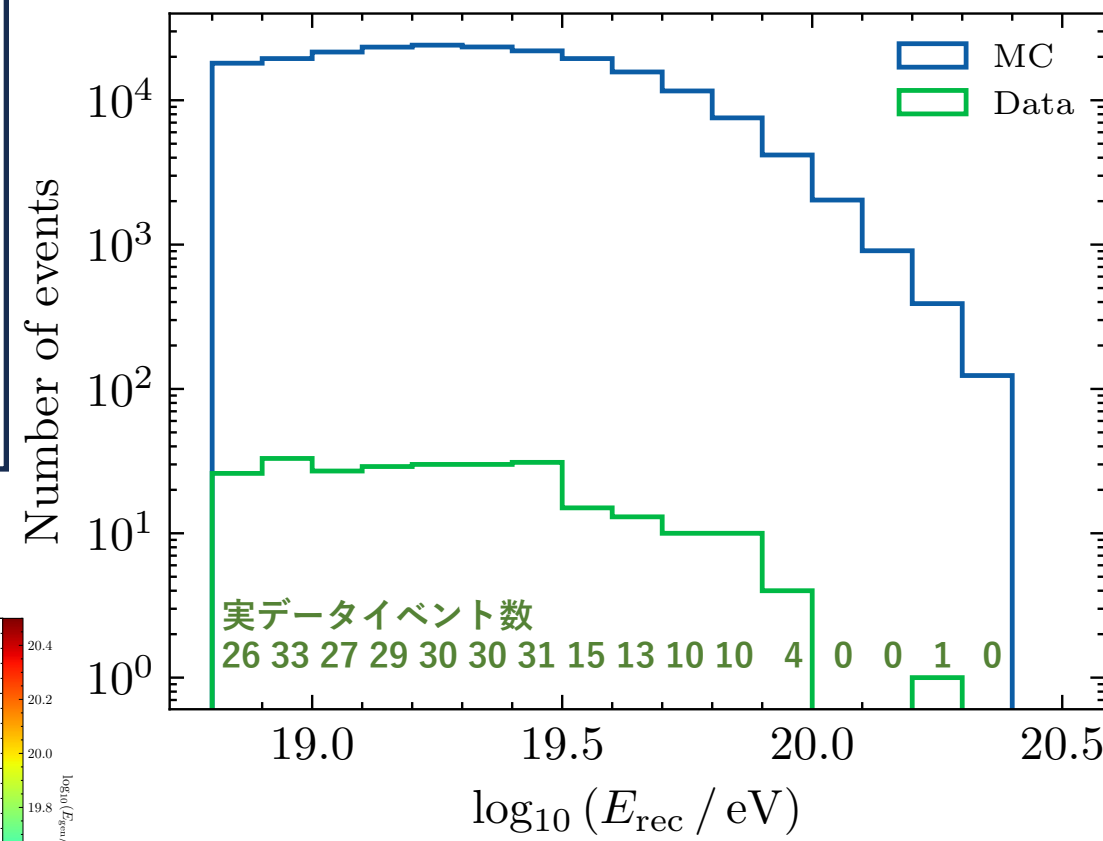
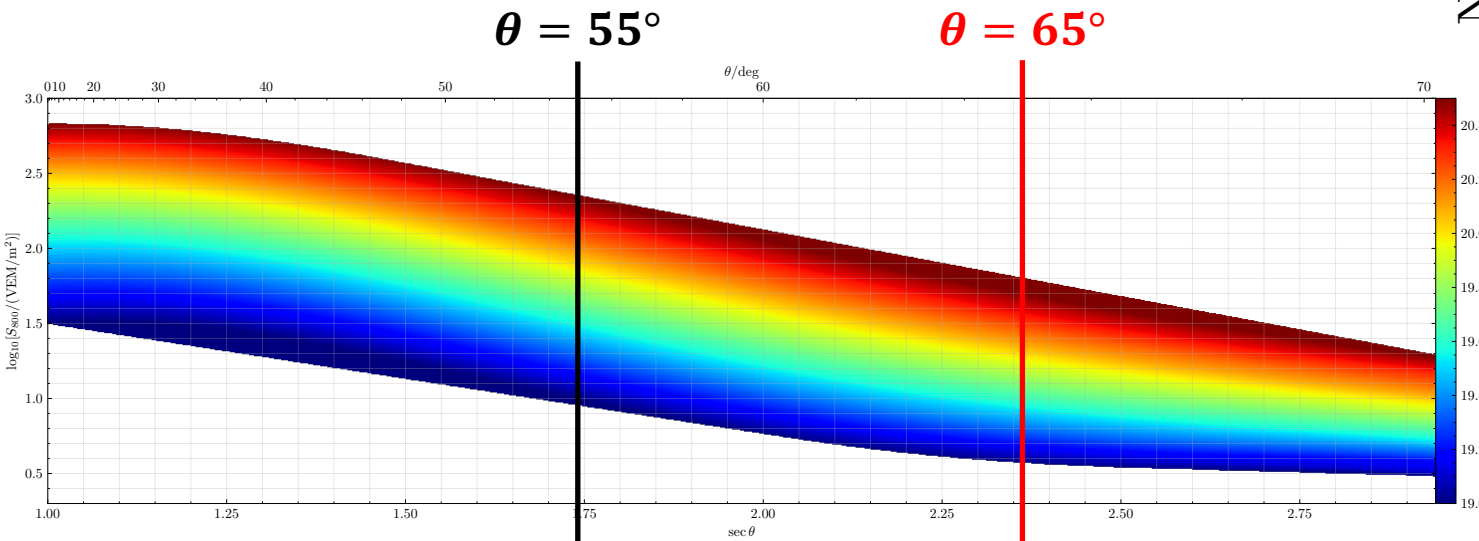
方位角： $0^\circ \leq \phi \leq 360^\circ$

Data/MC 比較

事象選別条件

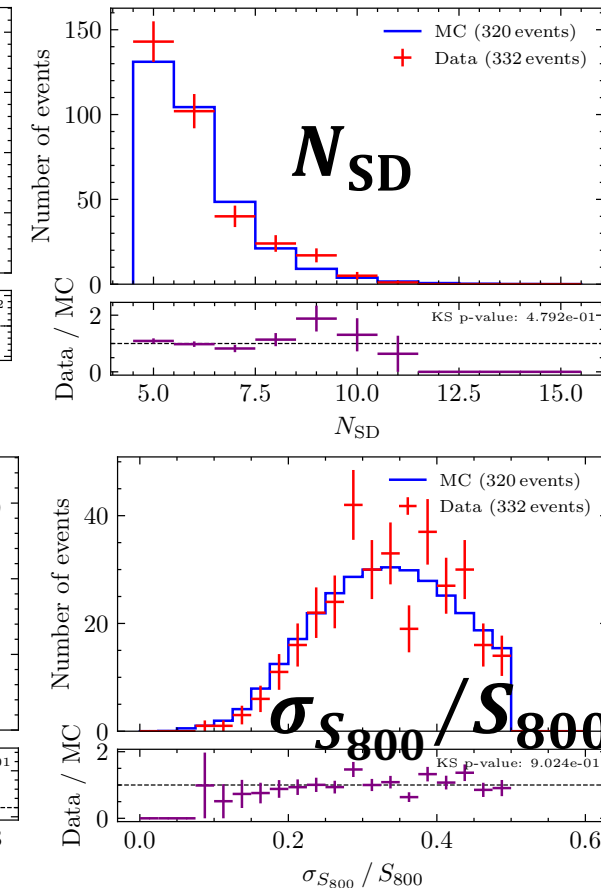
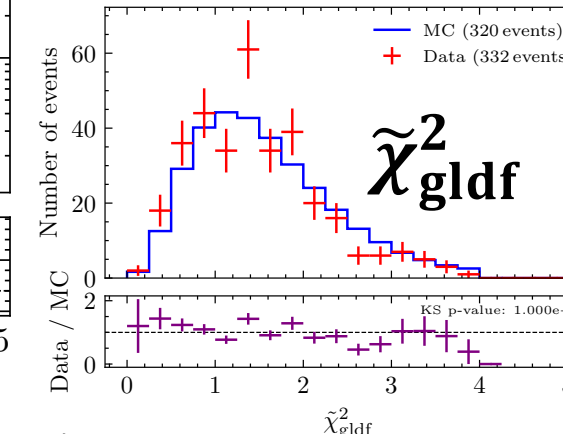
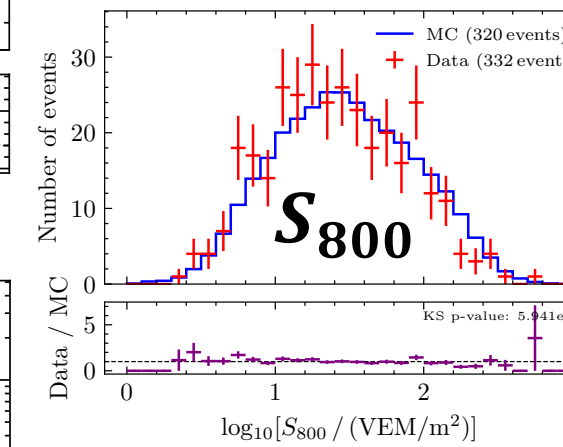
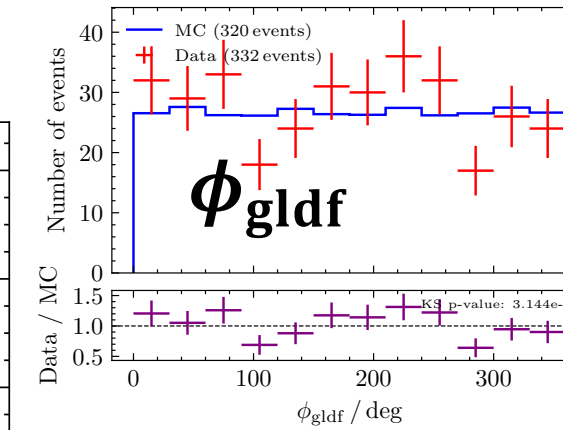
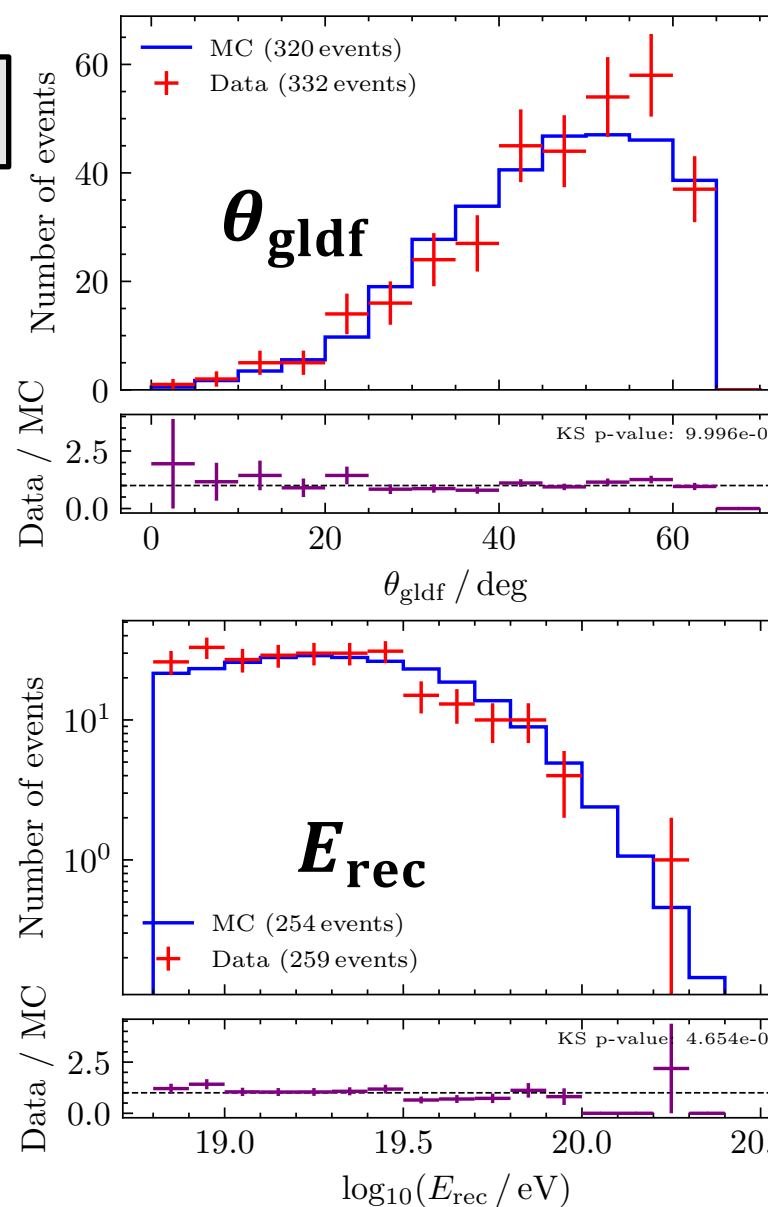
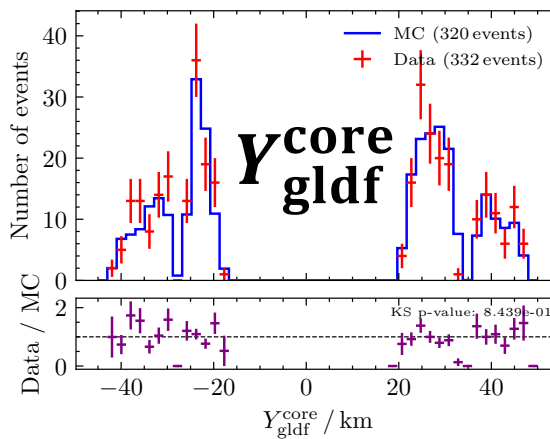
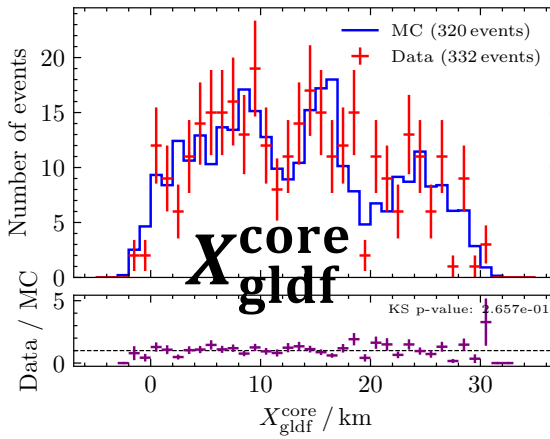
$N_{SD} \geq 5$
 $\theta \leq 65^\circ$
reduced $\chi^2 \leq 4$
 $\sigma_{S_{800}} / S_{800} \leq 0.5$
 $\sigma_{\text{point direction}} \leq 8^\circ$
 $D_{\text{border}} \geq 400 \text{ m}$

- TA $\times 4$ SDの従来の解析から
天頂角の条件のみ変更
⇒他の選別条件やエネルギー
スケール($\varepsilon_{sc} = 1.36$)は同じ
- 6つのサブアレイのデータ
を足し合わせて比較



Data/MC 比較

North + South



大天頂角領域
事象を含めても
両者に有意な差は
存在しない

エネルギースペクトルの測定

宇宙線フラックス

$$J_i = \frac{\sum_{\text{sub-arrays}} \frac{(N_{\text{rec}}^{\text{Data}})_i}{\Delta E_i}}{\sum_{\text{sub-arrays}} \left[\frac{(N_{\text{rec}}^{\text{MC}})_i}{(N_{\text{gen}}^{\text{MC}})_i} A_{\text{gen}} \Omega_{\text{gen}} T \right]}$$

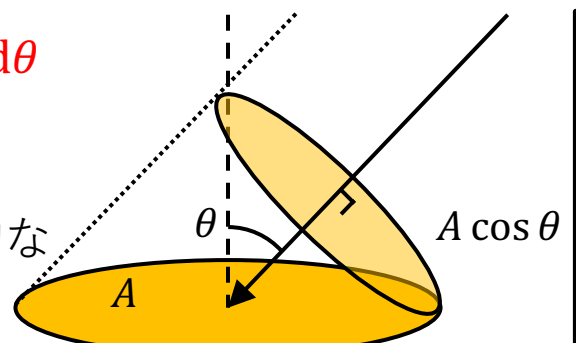
$$\varepsilon_i(E_{\text{gen}}, E_{\text{rec}}) \equiv \frac{(N_{\text{rec}}^{\text{MC}}(E_{\text{rec}}))_i}{(N_{\text{gen}}^{\text{MC}}(E_{\text{gen}}))_i}$$

ビン間の染み出しを考慮した再構成効率
(=TA実験の11年間のスペクトルを仮定)

$A_{\text{gen}} \Omega_{\text{gen}}$

$$\begin{aligned} &= \int_0^{2\pi} d\phi \int_0^{\theta_{\max}} \underline{A_{\text{gen}} \cos \theta \sin \theta} d\theta \\ &= A_{\text{gen}} \cdot \pi \sin^2 \theta_{\max} \end{aligned}$$

天頂角によってアレイの実効的な面積が変化することを考慮



空気シャワー研究会

サブアレイ	KM	DM	SN	BF	SR	SC
地表面積 [km ²]	~120	~40	~230	~150	~140	~110
生成面積 A_{gen} [km ²]	330.0	251.3	486.4	418.0	344.9	283.0
観測期間 [yymmdd]	191008-221031	191026-221031	191008-221031	191104-221031	191008-221031	191008-221031
観測日数 T [days]	1120	1102	1120	1093	1120	1120

事象選別条件はData/MC比較と同じ

TA × 4 SDの従来の解析(選別条件 : $\theta \leq 55^\circ$)

$$A_{\text{gen}} \Omega_{\text{gen}}(\theta_{\max} = 60^\circ) \cong A_{\text{gen}} \cdot 2.36$$

本研究(選別条件 : $\theta \leq 65^\circ$) $\downarrow 1.2$ 倍

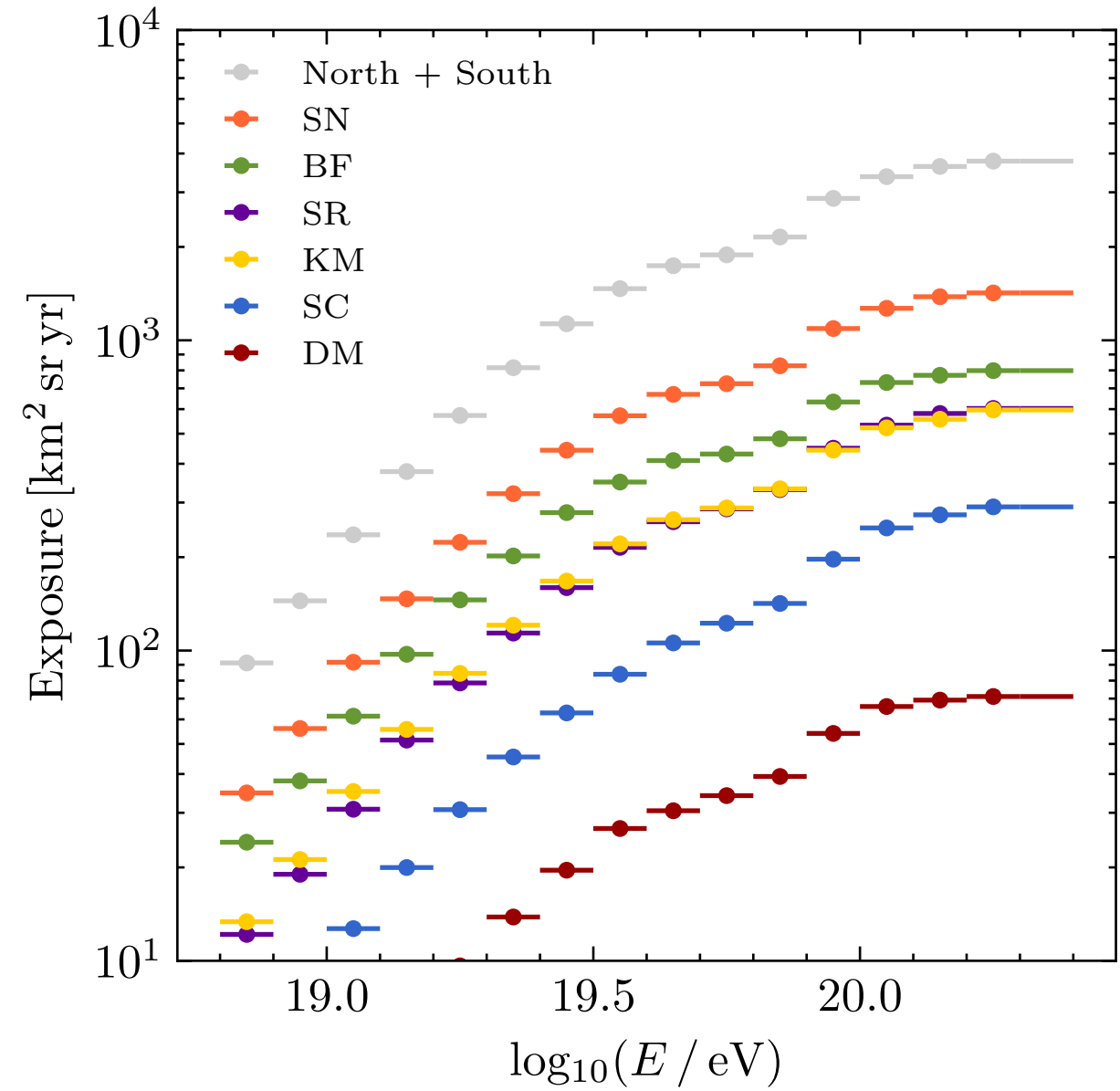
$$A_{\text{gen}} \Omega_{\text{gen}}(\theta_{\max} = 70^\circ) \cong A_{\text{gen}} \cdot 2.77$$

エネルギースペクトルの測定

$$J_i = \frac{\sum_{\text{sub-arrays}} \frac{(N_{\text{rec}}^{\text{Data}})_i}{\Delta E_i}}{\sum_{\text{sub-arrays}} \left[\frac{(N_{\text{rec}}^{\text{MC}})_i}{(N_{\text{gen}}^{\text{MC}})_i} A_{\text{gen}} \Omega_{\text{gen}} T \right]}$$

$$\text{Exposure}_i = \frac{(N_{\text{rec}}^{\text{MC}})_i}{(N_{\text{gen}}^{\text{MC}})_i} A_{\text{gen}} \Omega_{\text{gen}} T$$

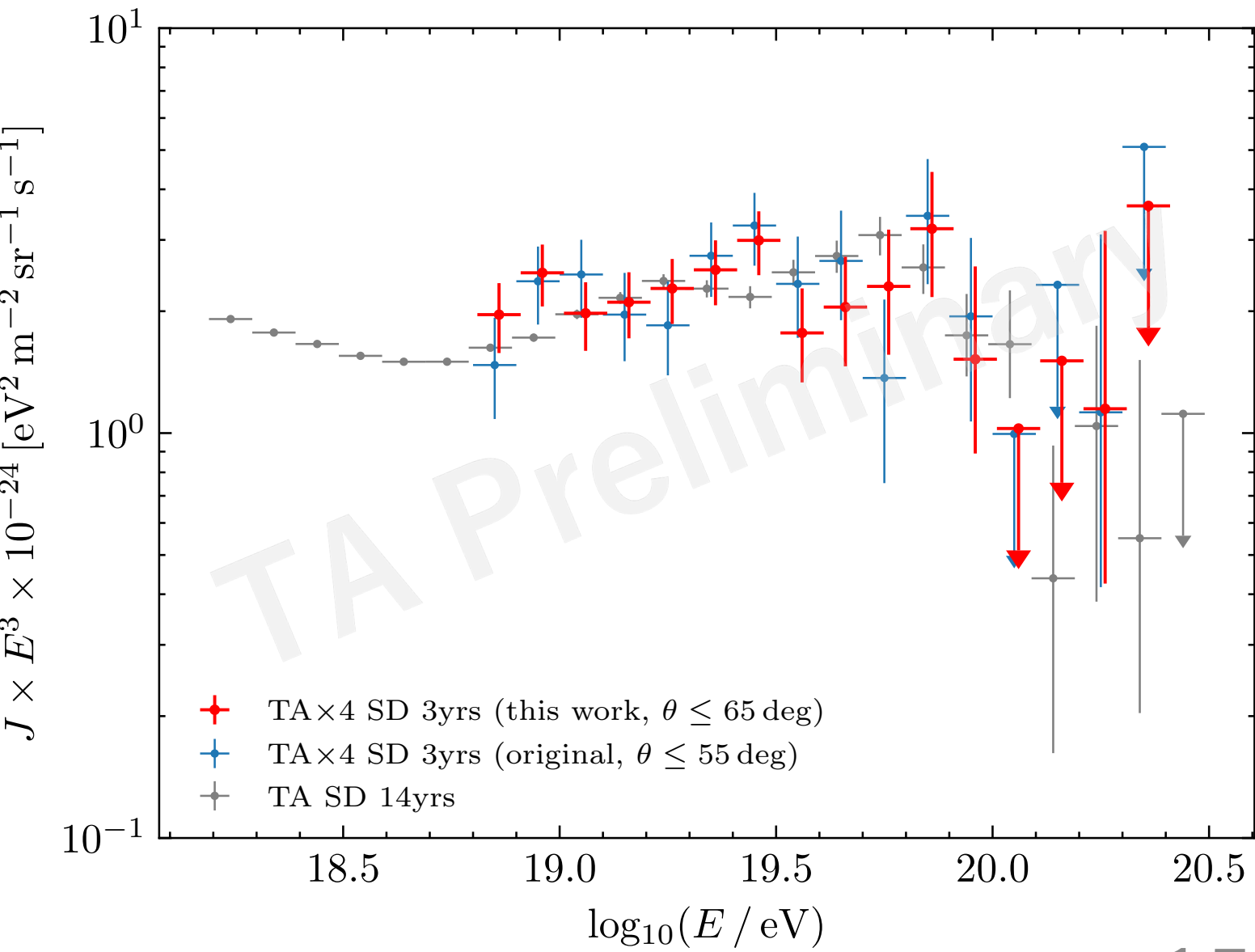
エネルギーが最も高いбинでExposureが小さくなつた
→ Exposureがフラットとなることを仮定し,
それより低いエネルギーのбинと同じ値を用いた



エネルギースペクトルの測定

$$J_i = \sum_{\text{sub-arrays}} \frac{(N_{\text{rec}}^{\text{Data}})_i}{\text{Exposure}_i \cdot \Delta E_i}$$

$E \geq 10^{18.8} \text{ eV}$ について
実データイベント数 $N_{\text{rec}}^{\text{Data}}$ の比較
TA $\times 4$ SD の従来の解析
(選別条件 : $\theta \leq 55^\circ$)
 $N_{\text{rec}}^{\text{Data}} = 186$
 $\downarrow 1.4\text{倍}$
本研究(選別条件 : $\theta \leq 65^\circ$)
 $N_{\text{rec}}^{\text{Data}} = 259$



まとめ

- ・事象再構成におけるエネルギー決定過程の大天頂角領域への拡張
エネルギー推定テーブルを天頂角 70° まで拡張
- ・実データとシミュレーションデータの再構成結果の比較
⇒両者に有意な差が**存在しない**ことを確認
- ・実データを用いた初期解析
⇒**大天頂角領域**の事象を含めたエネルギースペクトルをはじめて決定

今後取り組むこと

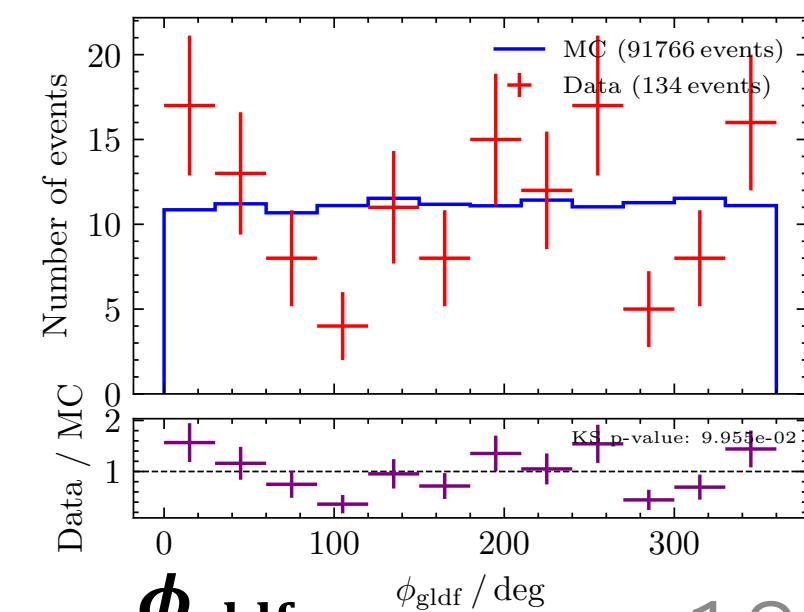
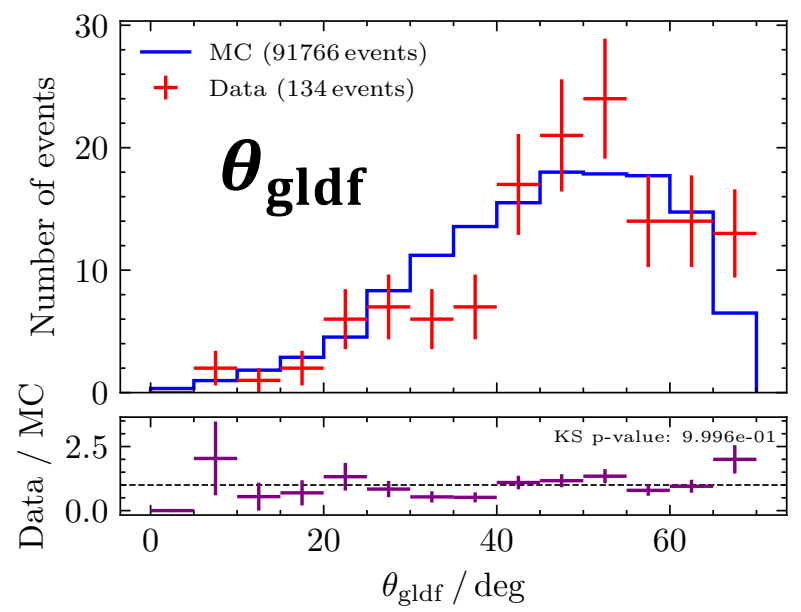
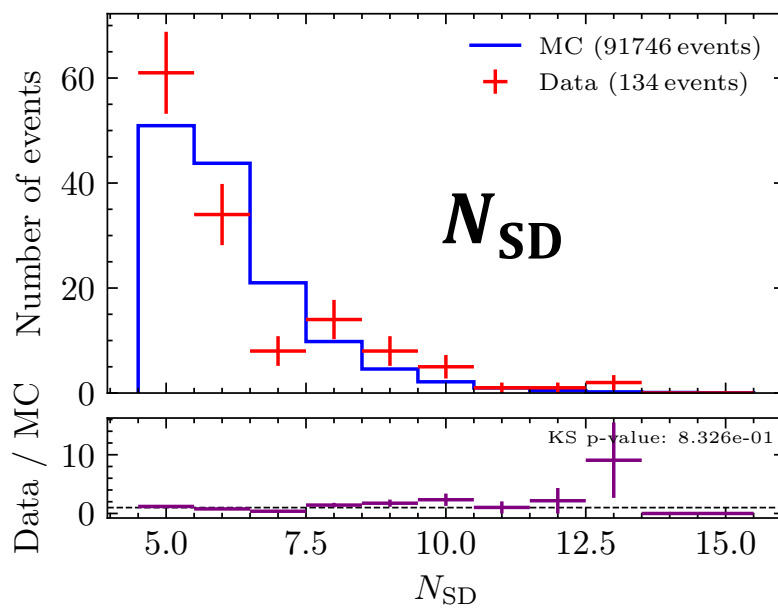
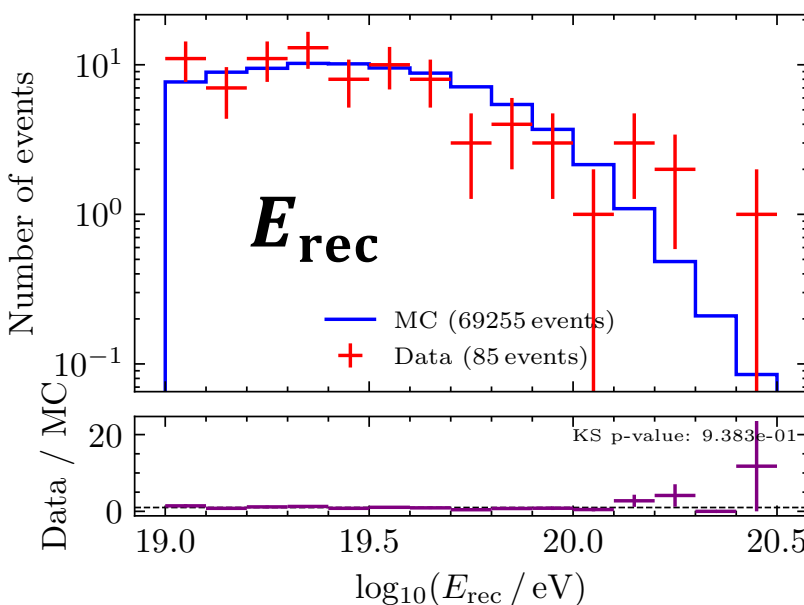
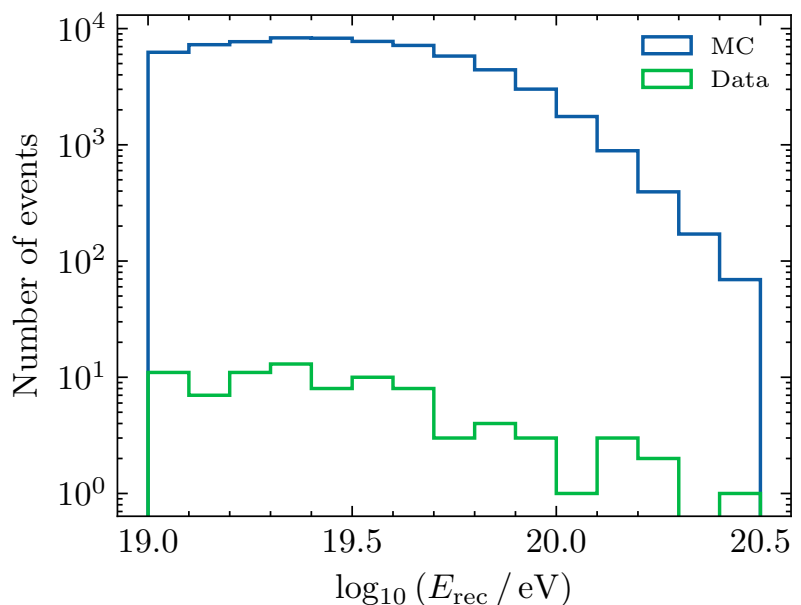
- ・これまでの解析における**系統誤差**を評価
- ・エネルギースペクトルのより詳細な解析や**異方性**に関する解析
- ・TA SDの天頂角 70° までの領域にも同様の解析を適応
- ・さらなる**大天頂角領域**への拡張

Back up

SN2019/10/08~
2022/10/31

Selection criteria:

 $N_{SD} \geq 5$ $\theta \leq 70^\circ$ reduced $\chi^2 \leq 4$ $\sigma_{S_{800}} / S_{800} \leq 0.5$ $\sigma_{\text{point direction}} \leq 8^\circ$ $D_{\text{border}} \geq 400 \text{ m}$
Area
normalize

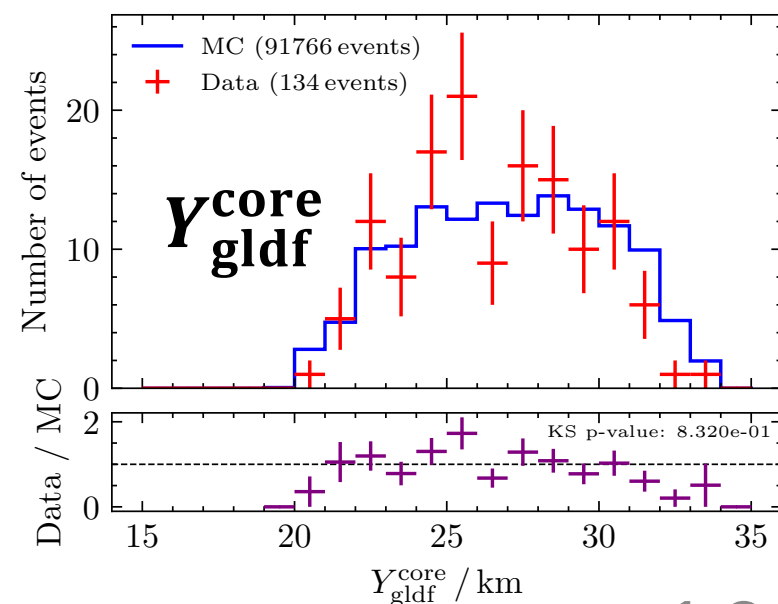
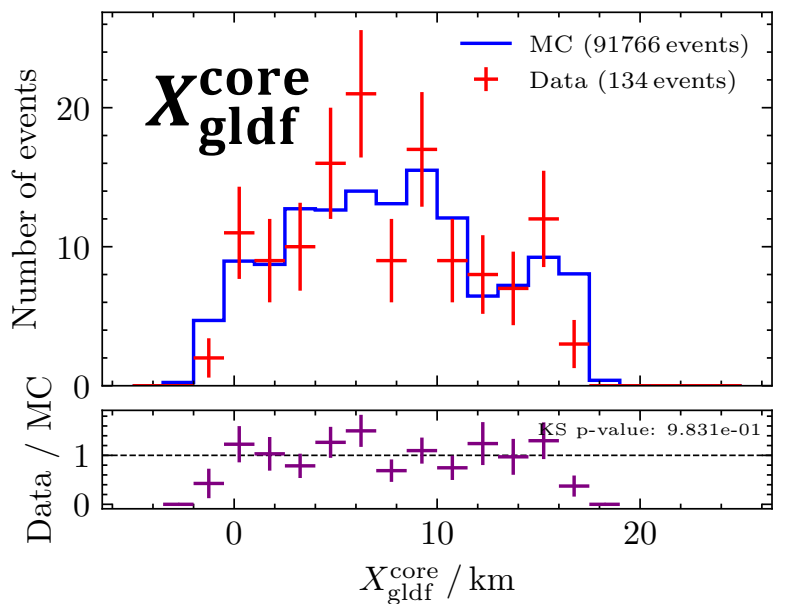
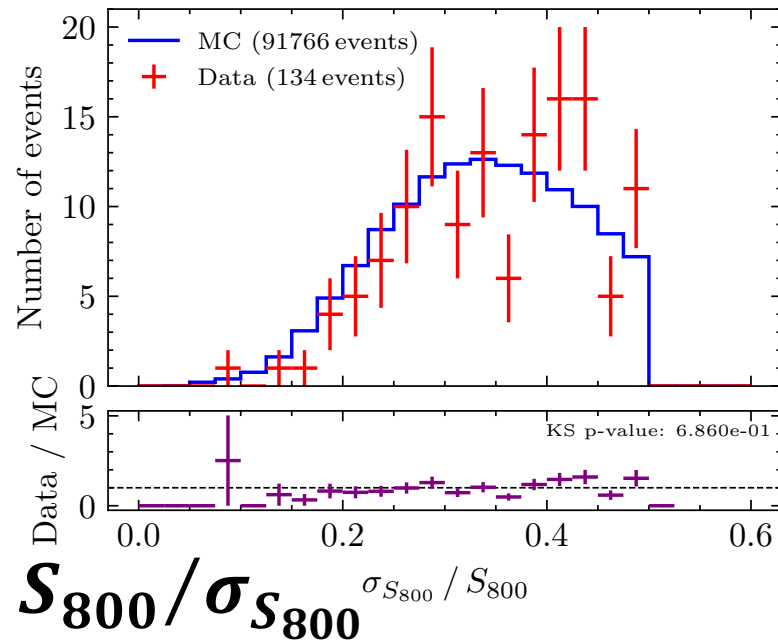
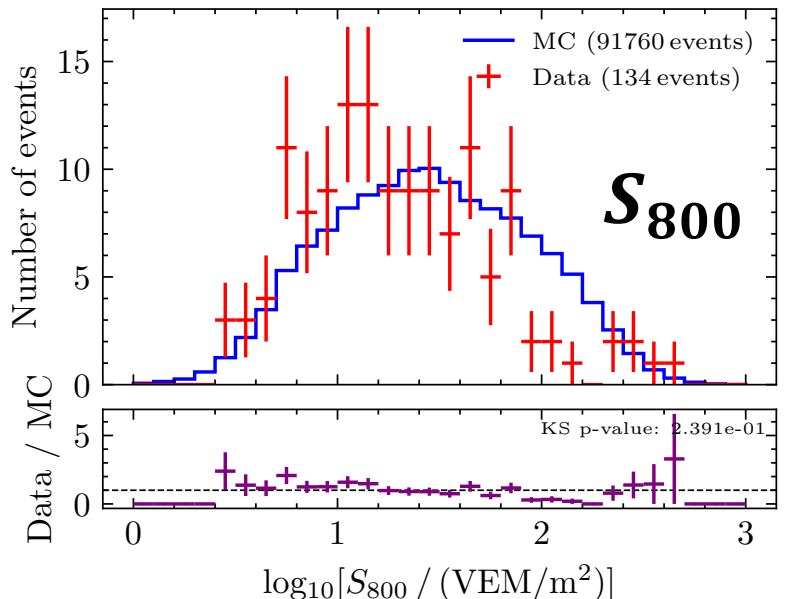
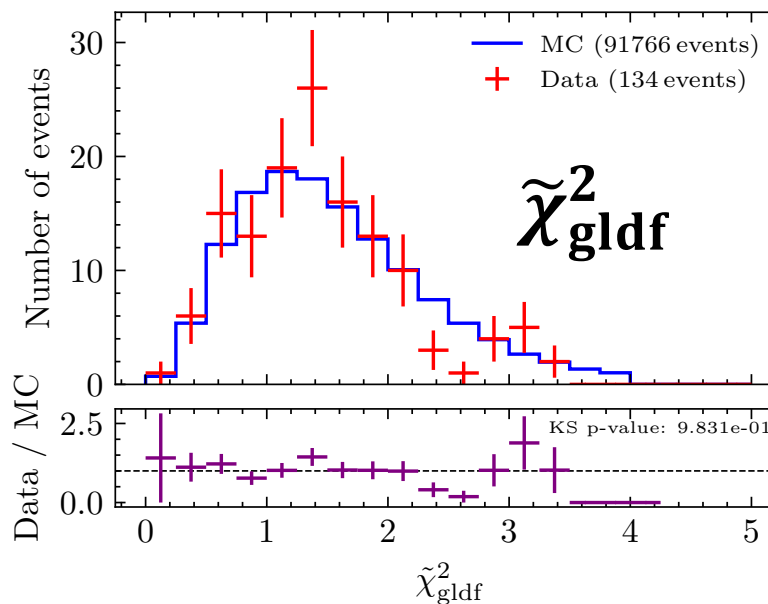
NOT
scaled
energy


SN2019/10/08~
2022/10/31

Selection criteria:

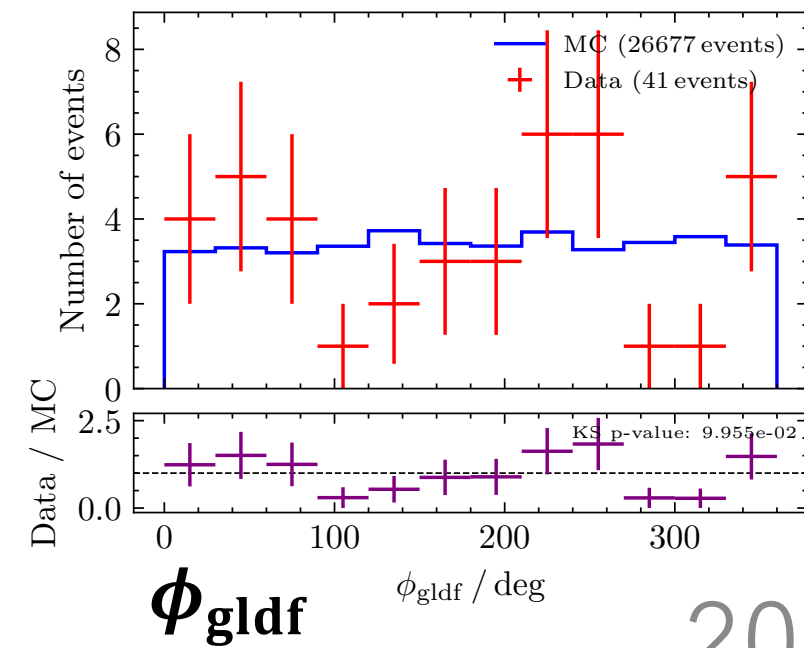
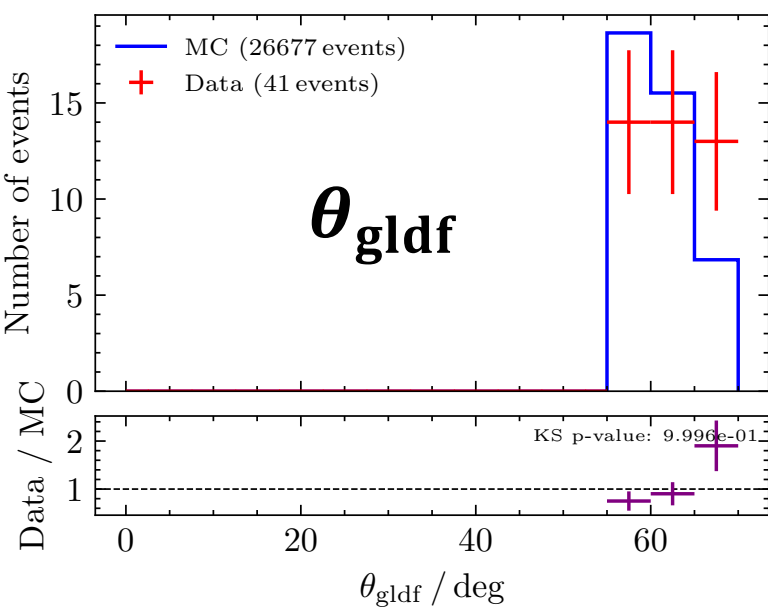
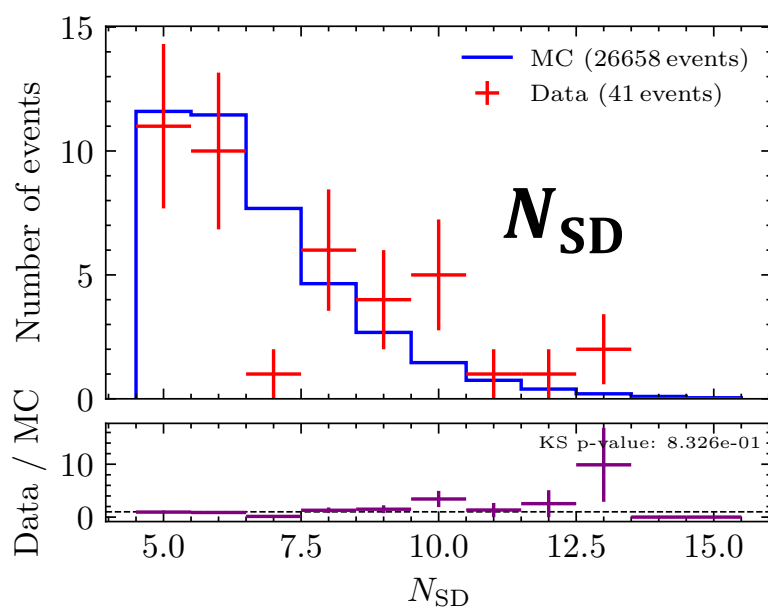
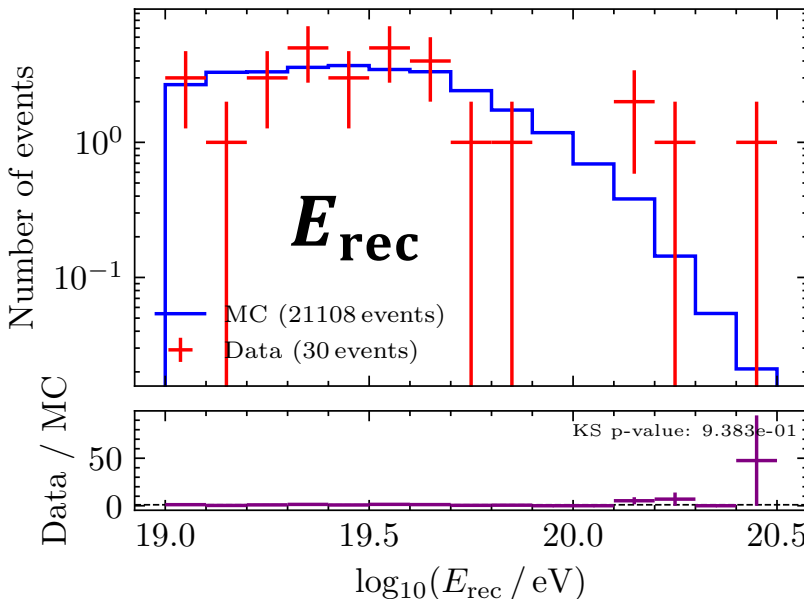
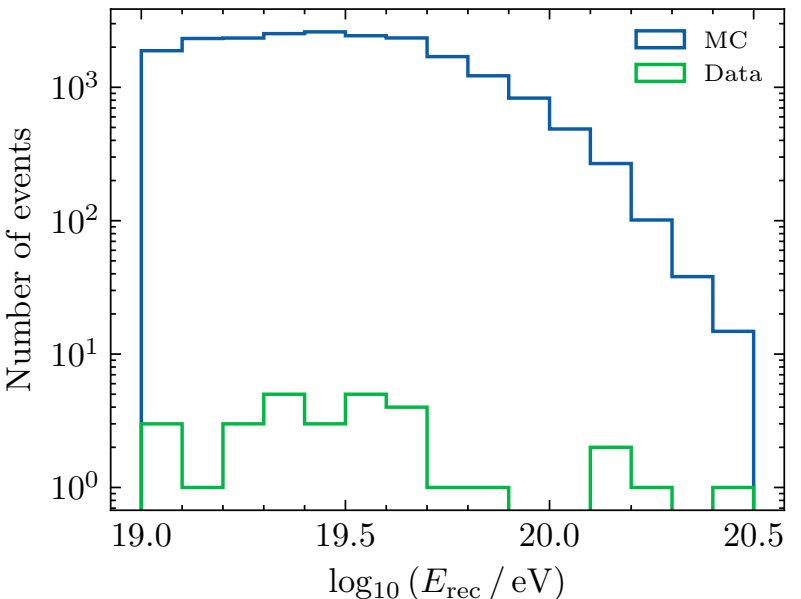
 $N_{SD} \geq 5$ $\theta \leq 70^\circ$ reduced $\chi^2 \leq 4$ $\sigma_{S_{800}} / S_{800} \leq 0.5$ $\sigma_{\text{point direction}} \leq 8^\circ$ $D_{\text{border}} \geq 400 \text{ m}$ **Area**

normalize

**NOT
scaled
energy**

SN2019/10/08~
2022/10/31

Selection criteria:

 $N_{SD} \geq 5$ $55^\circ \leq \theta \leq 70^\circ$ reduced $\chi^2 \leq 4$ $\sigma_{S_{800}} / S_{800} \leq 0.5$ $\sigma_{\text{point direction}} \leq 8^\circ$ $D_{\text{border}} \geq 400 \text{ m}$ **Area**
normalize**NOT**
scaled
energy

SN2019/10/08~
2022/10/31

Selection criteria:

$N_{SD} \geq 5$

$55^\circ \leq \theta \leq 70^\circ$

reduced $\chi^2 \leq 4$

$\sigma_{S_{800}} / S_{800} \leq 0.5$

$\sigma_{\text{point direction}} \leq 8^\circ$

$D_{\text{border}} \geq 400 \text{ m}$

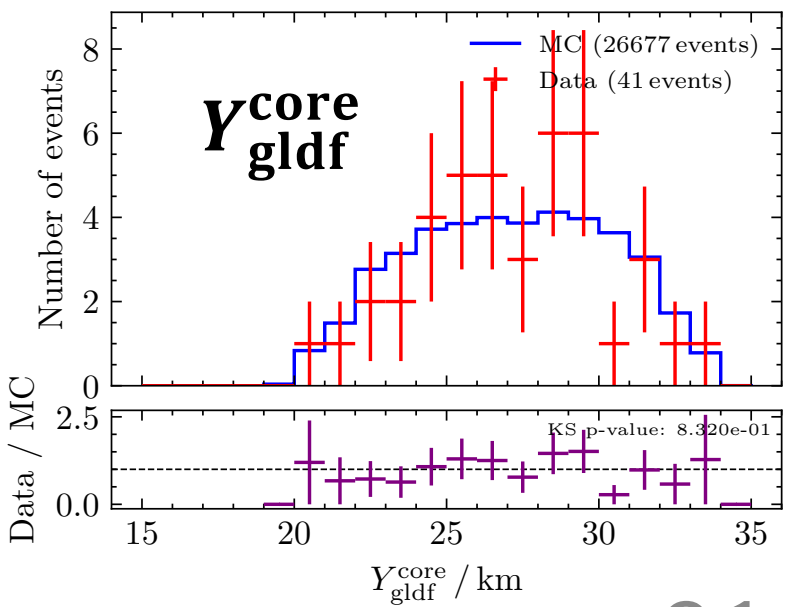
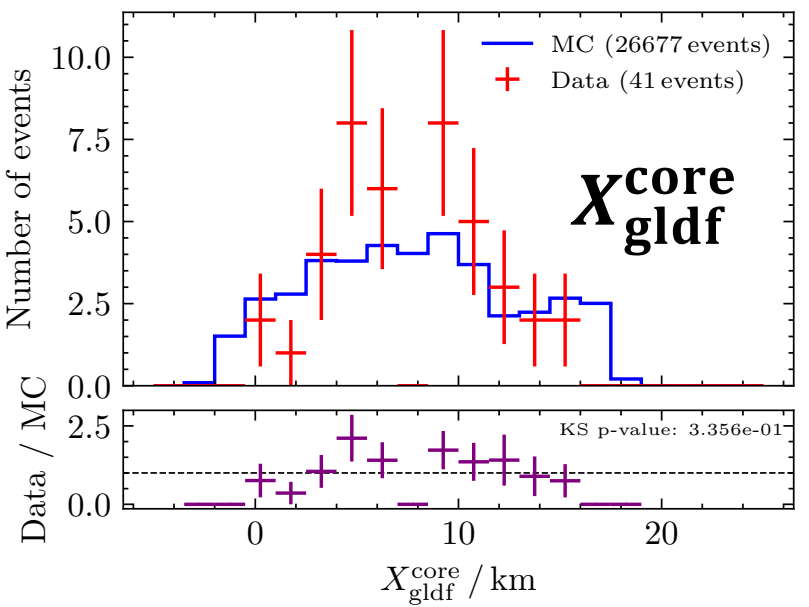
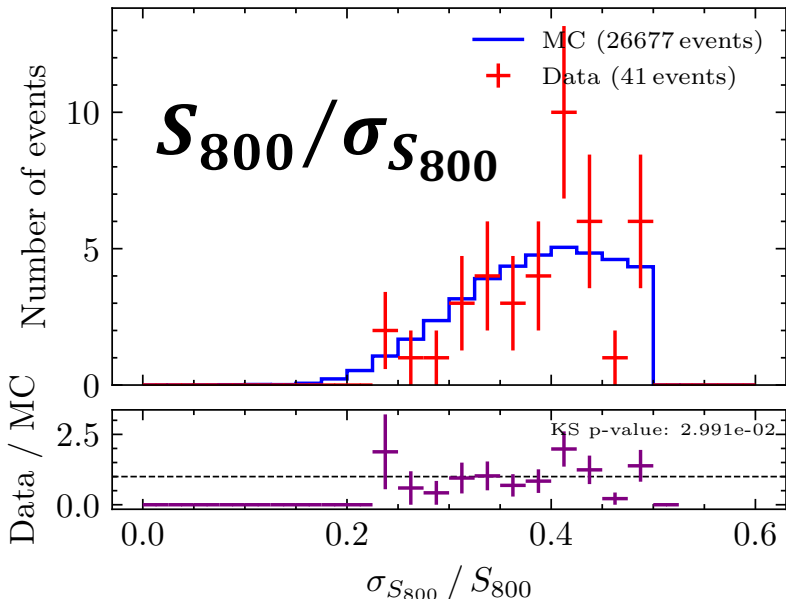
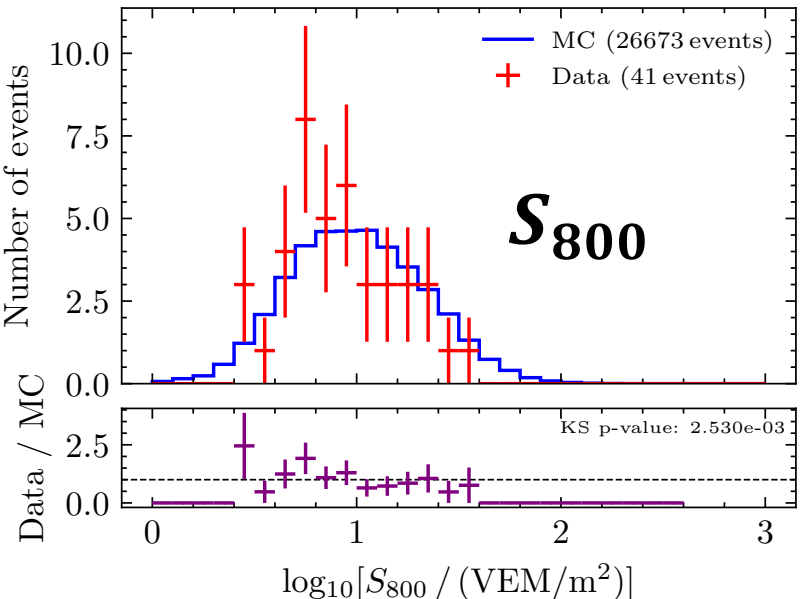
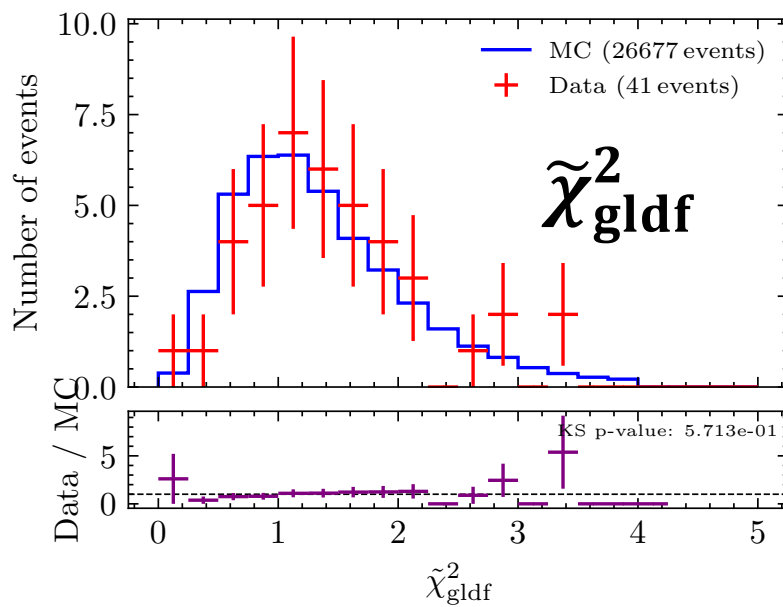
Area

normalize

NOT

scaled

energy

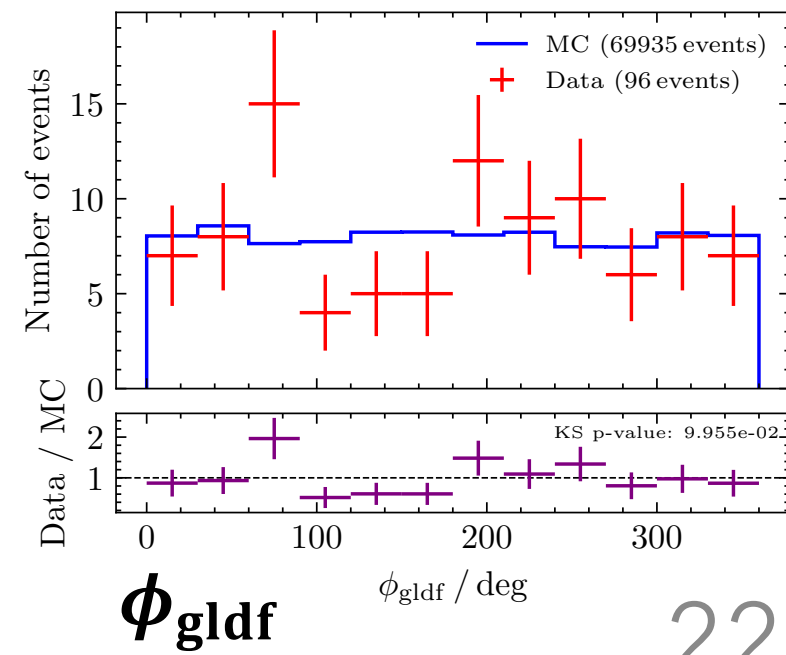
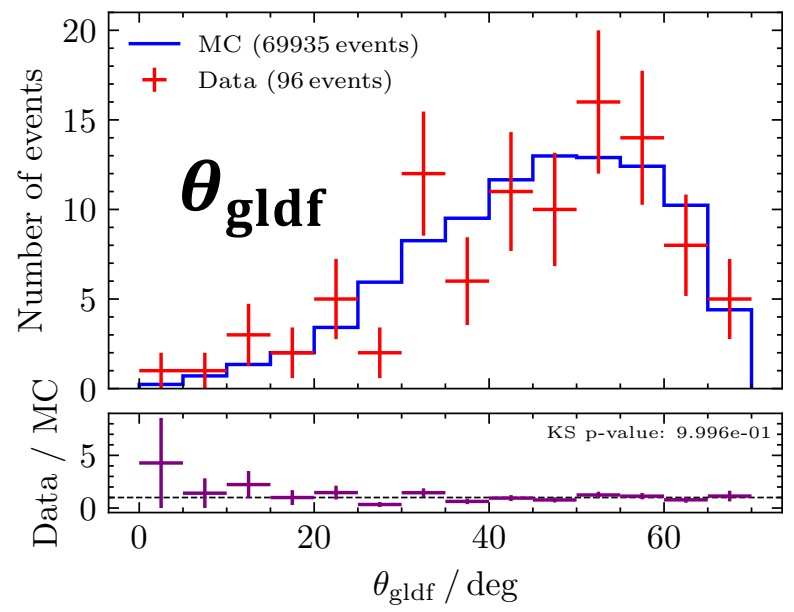
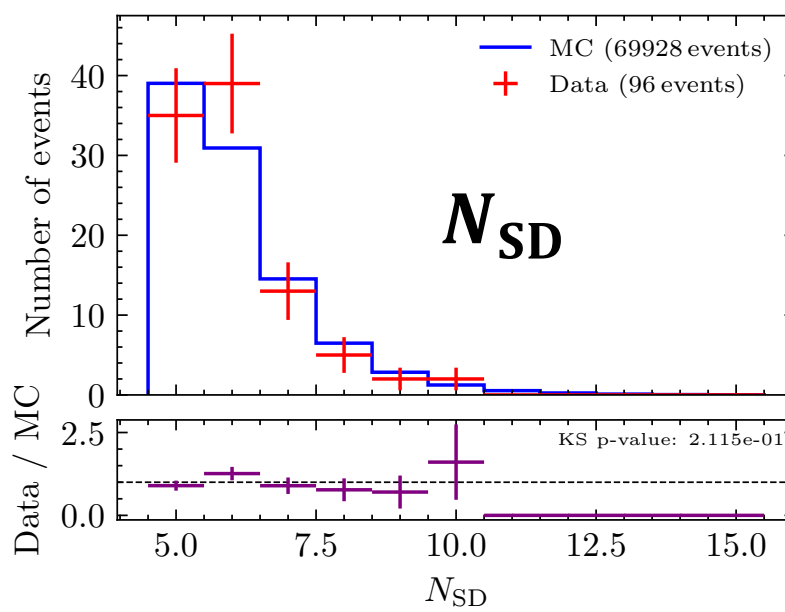
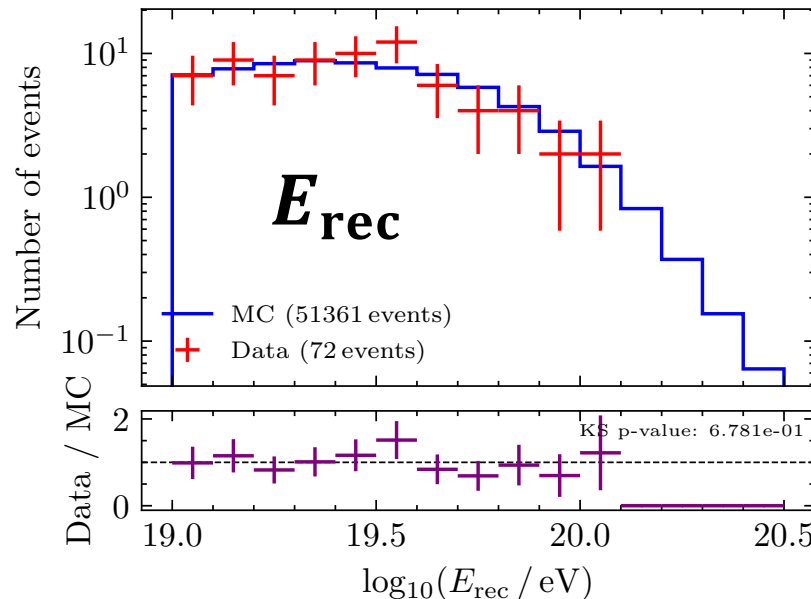
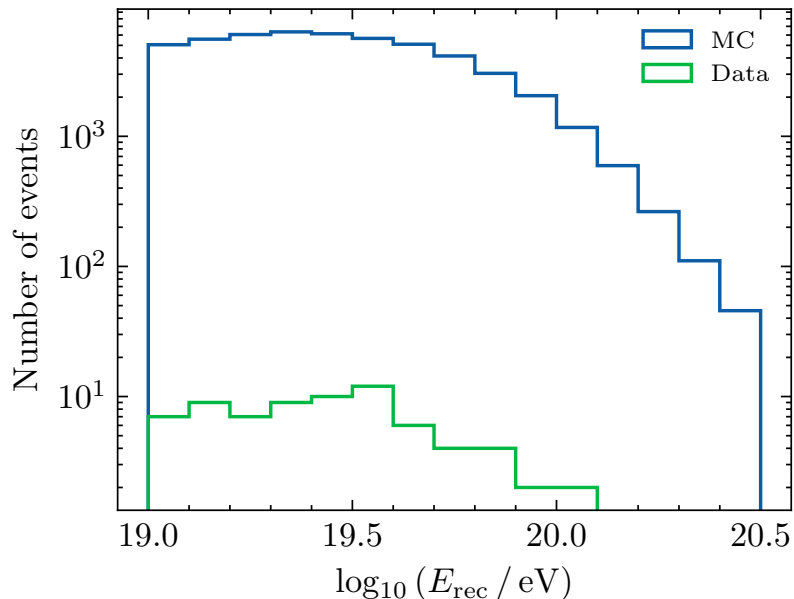


BF2019/11/04~
2022/10/31

Selection criteria:

 $N_{SD} \geq 5$ $\theta \leq 70^\circ$ reduced $\chi^2 \leq 4$ $\sigma_{S_{800}} / S_{800} \leq 0.5$ $\sigma_{\text{point direction}} \leq 8^\circ$ $D_{\text{border}} \geq 400 \text{ m}$ **Area**

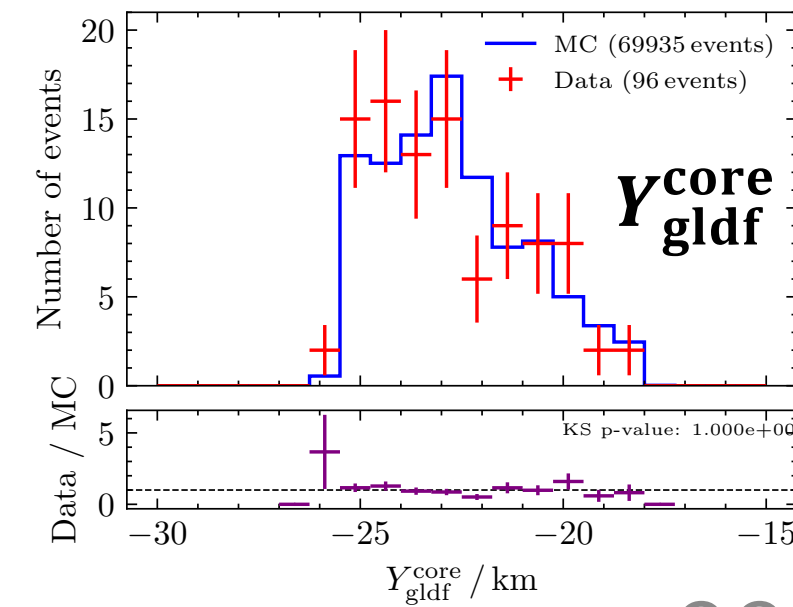
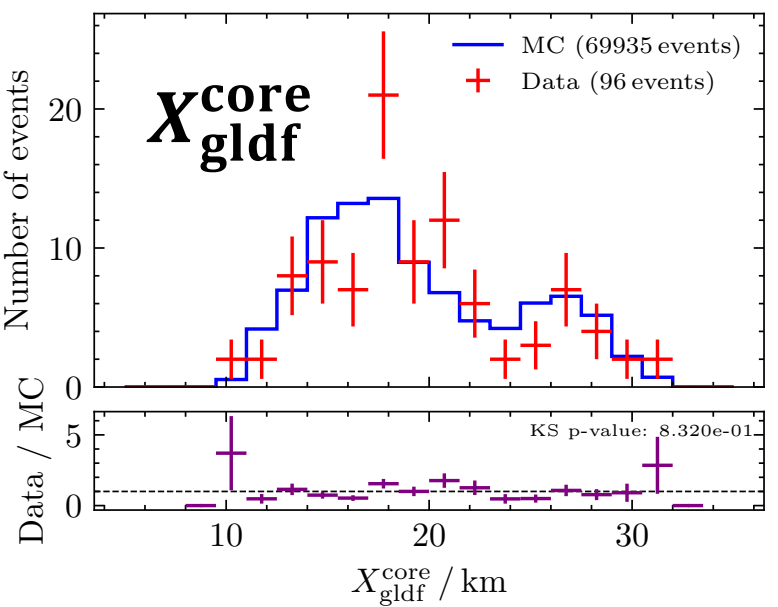
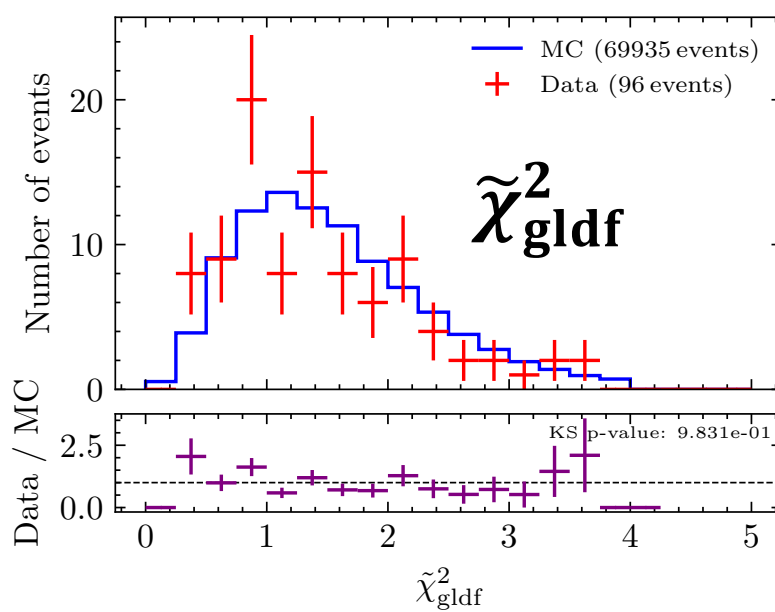
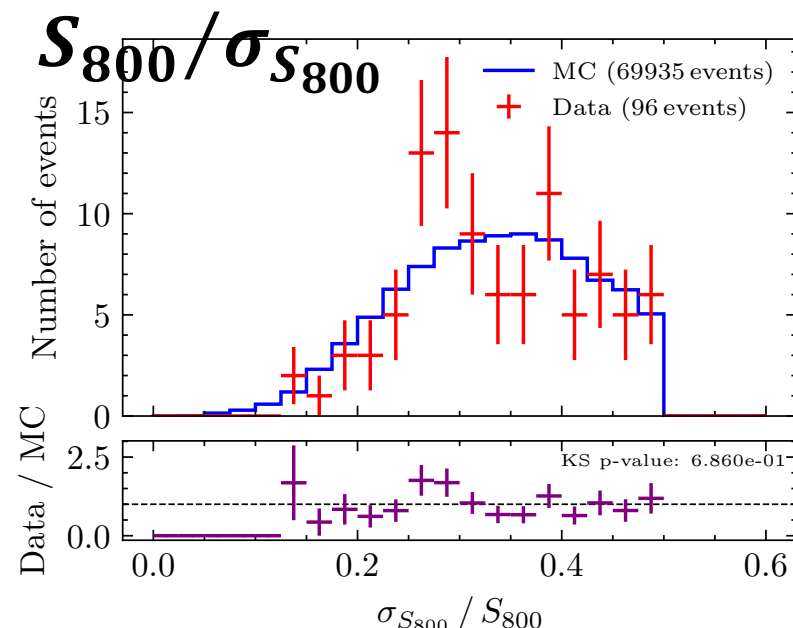
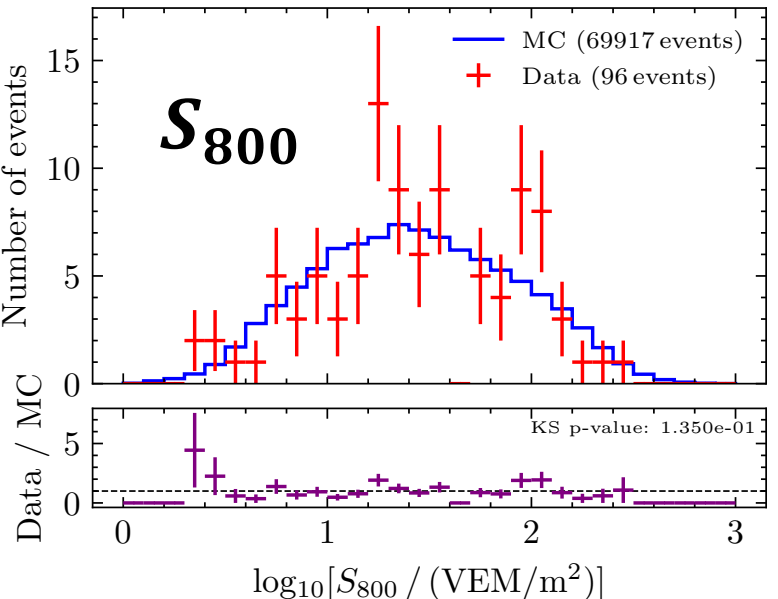
normalize

NOTscaled
energy

BF2019/11/04~
2022/10/31

Selection criteria:

 $N_{SD} \geq 5$ $\theta \leq 70^\circ$ reduced $\chi^2 \leq 4$ $\sigma_{S_{800}} / S_{800} \leq 0.5$ $\sigma_{\text{point direction}} \leq 8^\circ$ $D_{\text{border}} \geq 400 \text{ m}$
Area
normalize

NOT
scaled
energy


BF2019/11/04~
2022/10/31

Selection criteria:

$N_{SD} \geq 5$

$55^\circ \leq \theta \leq 70^\circ$

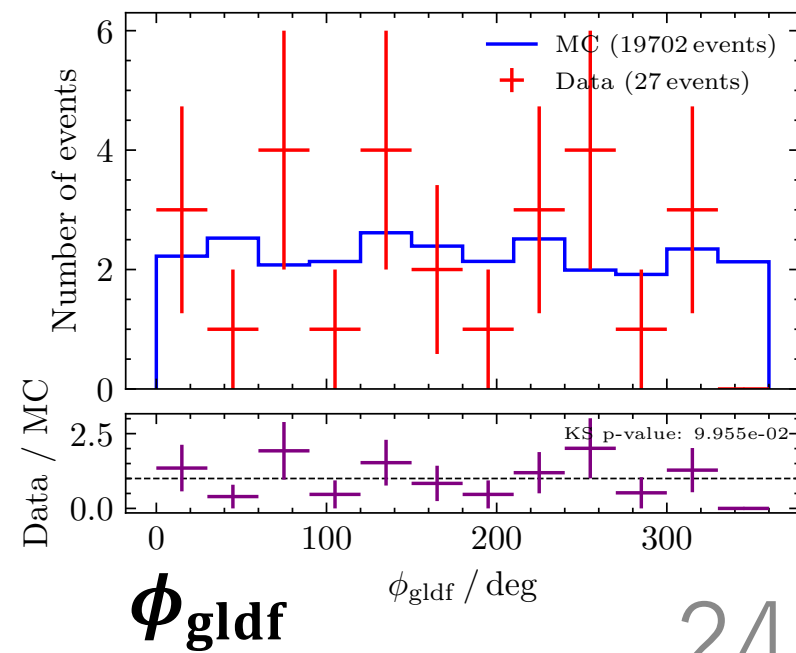
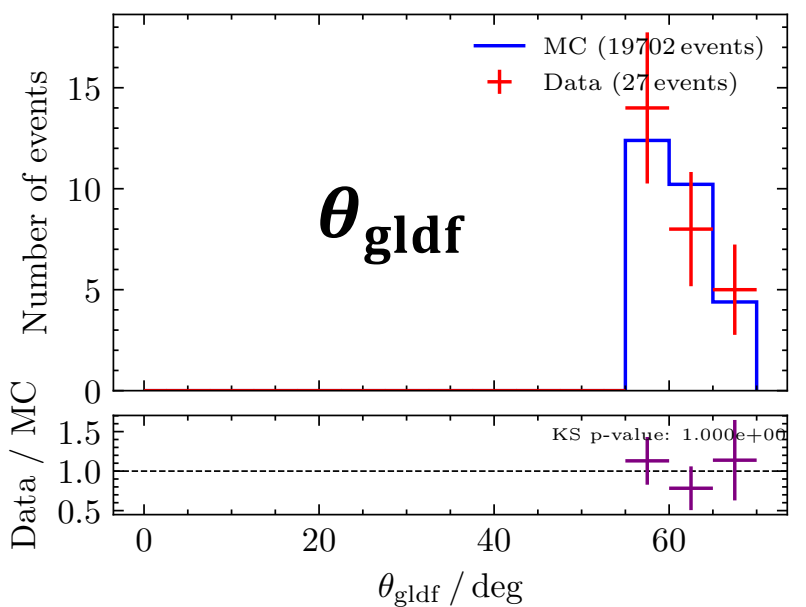
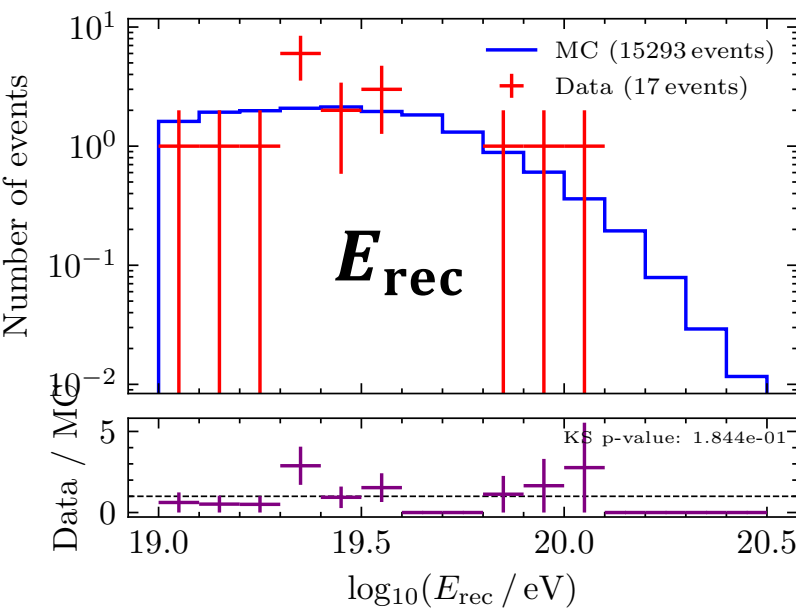
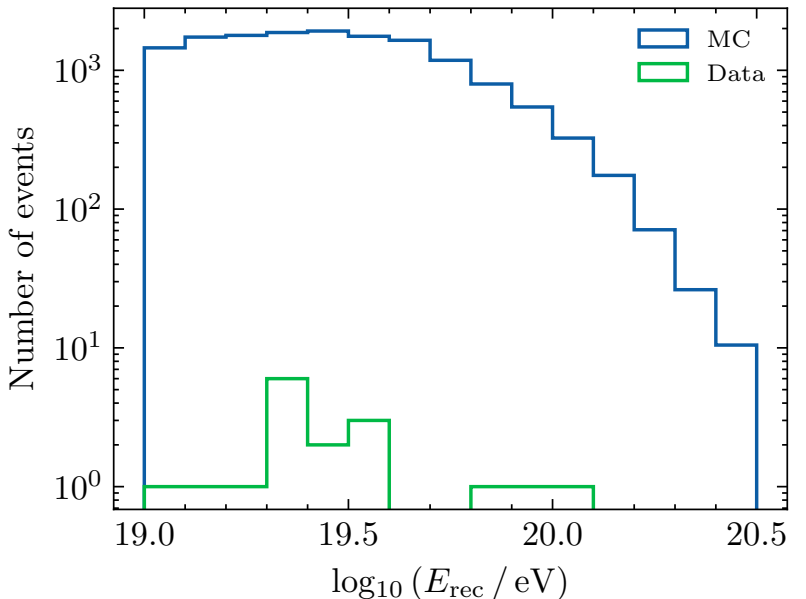
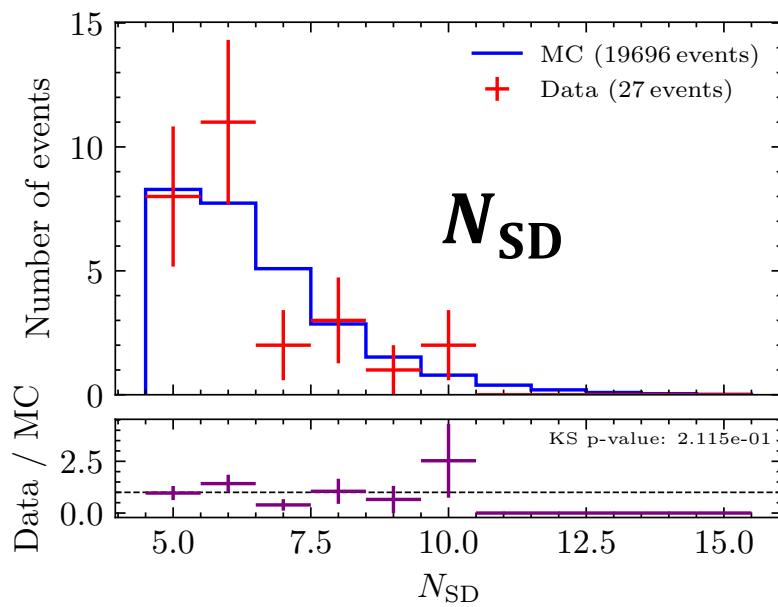
reduced $\chi^2 \leq 4$

$\sigma_{S_{800}} / S_{800} \leq 0.5$

$\sigma_{\text{point direction}} \leq 8^\circ$

$D_{\text{border}} \geq 400 \text{ m}$

Area
normalize

NOT
scaled
energy


BF2019/11/04~
2022/10/31

Selection criteria:

$N_{SD} \geq 5$

$55^\circ \leq \theta \leq 70^\circ$

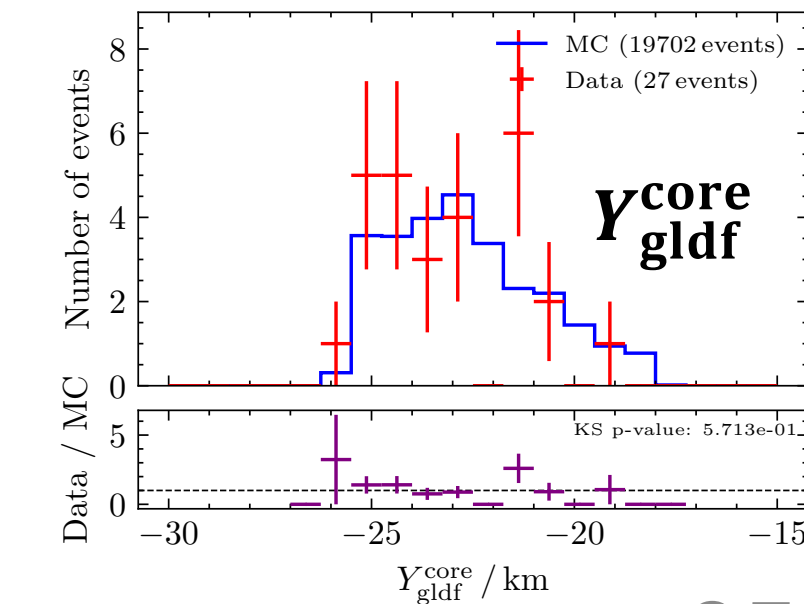
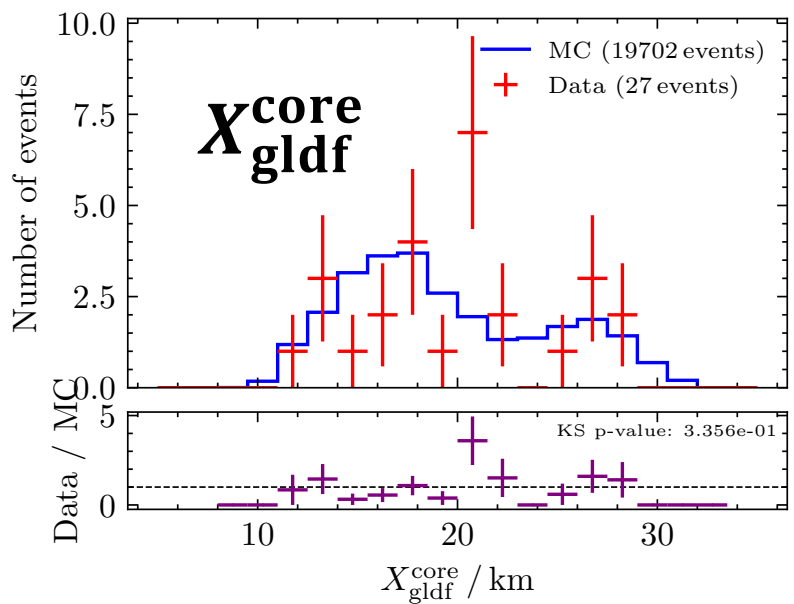
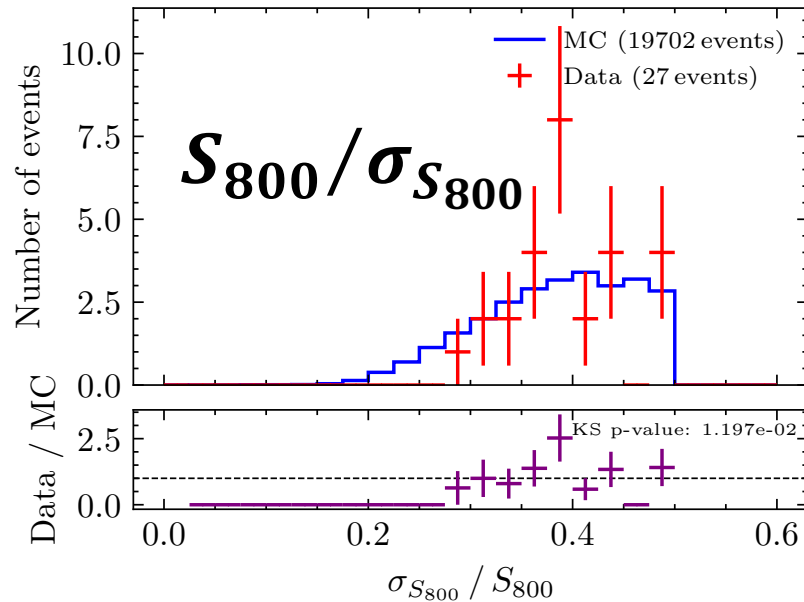
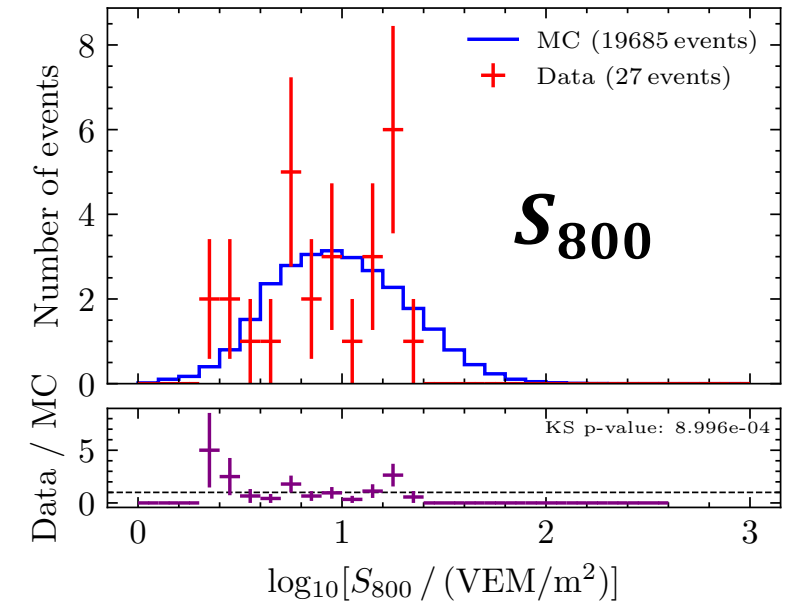
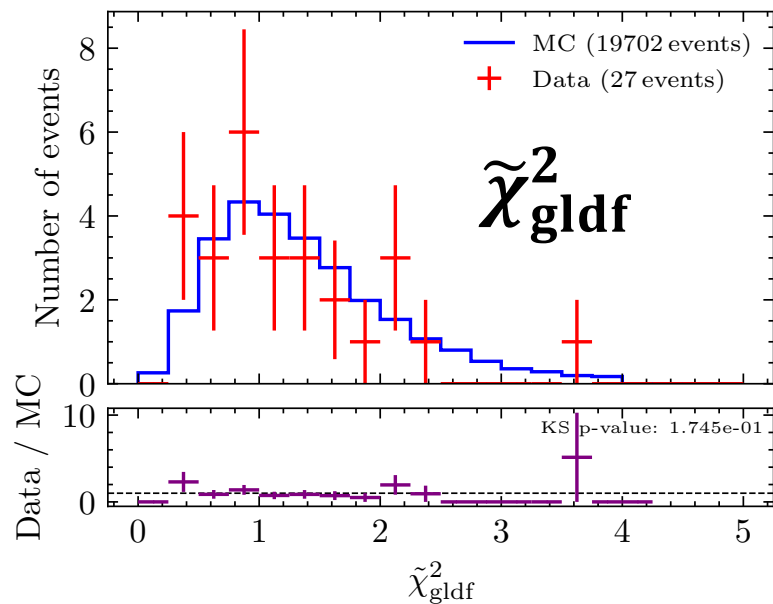
reduced $\chi^2 \leq 4$

$\sigma_{S_{800}} / S_{800} \leq 0.5$

$\sigma_{\text{point direction}} \leq 8^\circ$

$D_{\text{border}} \geq 400 \text{ m}$

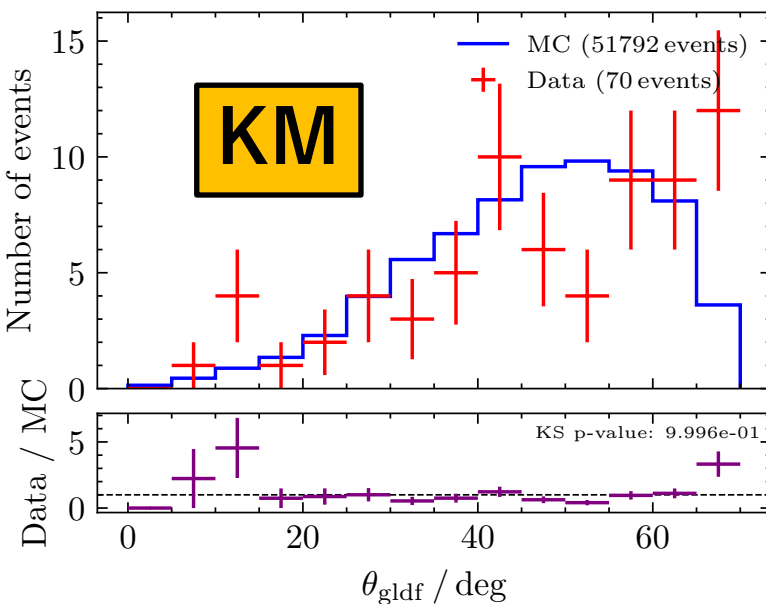
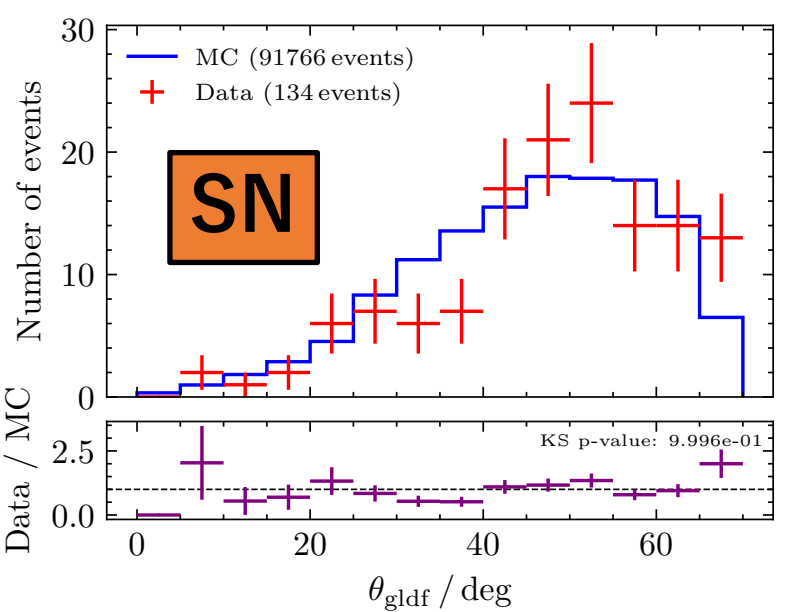
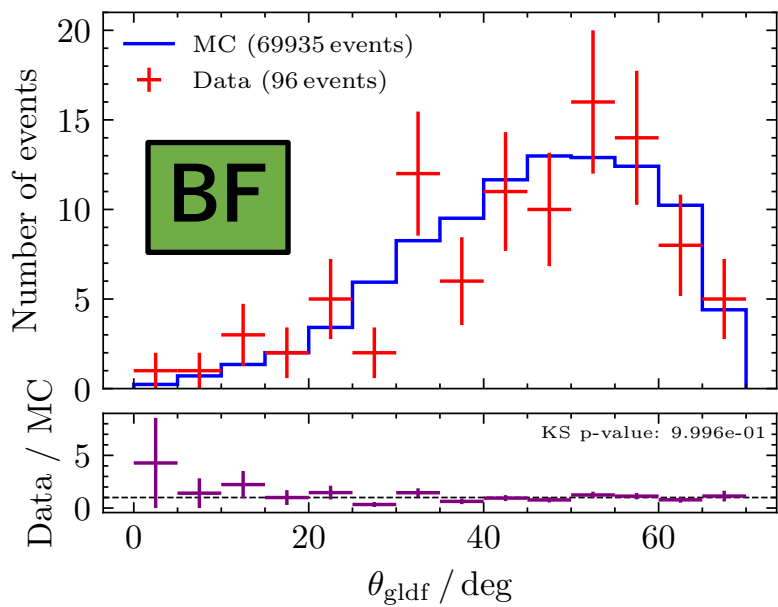
Area
normalize

NOT
scaled
energy


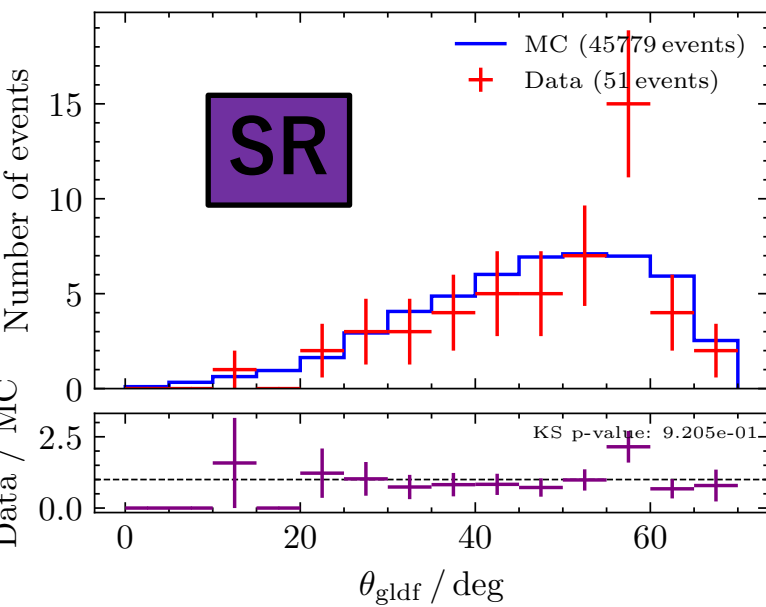
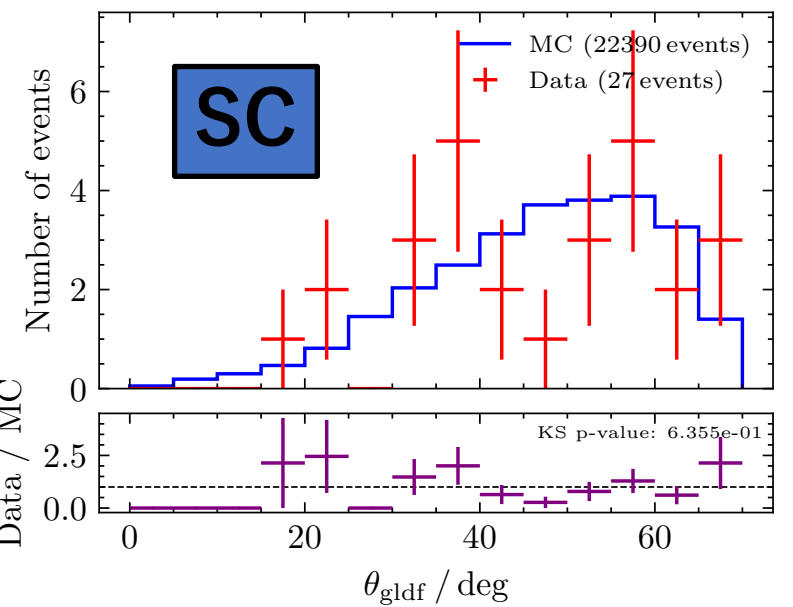
θ_{gldf}

Area normalize

NOT scaled energy



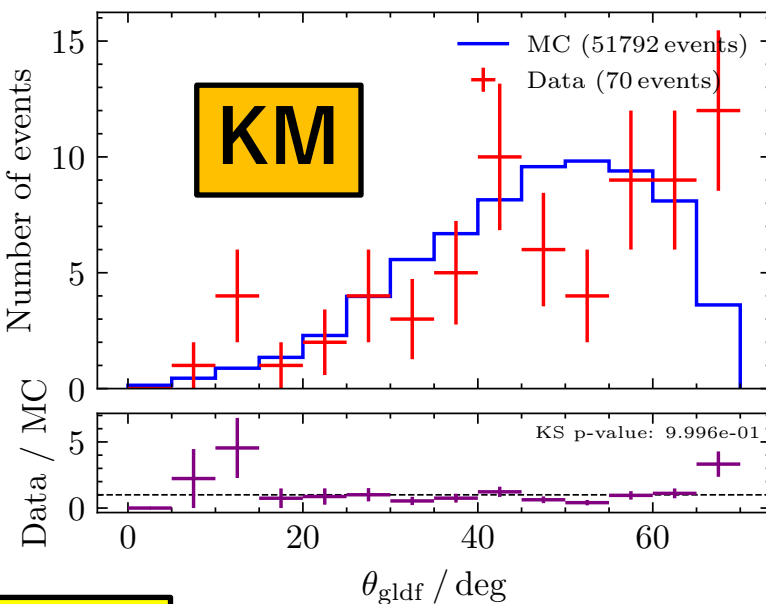
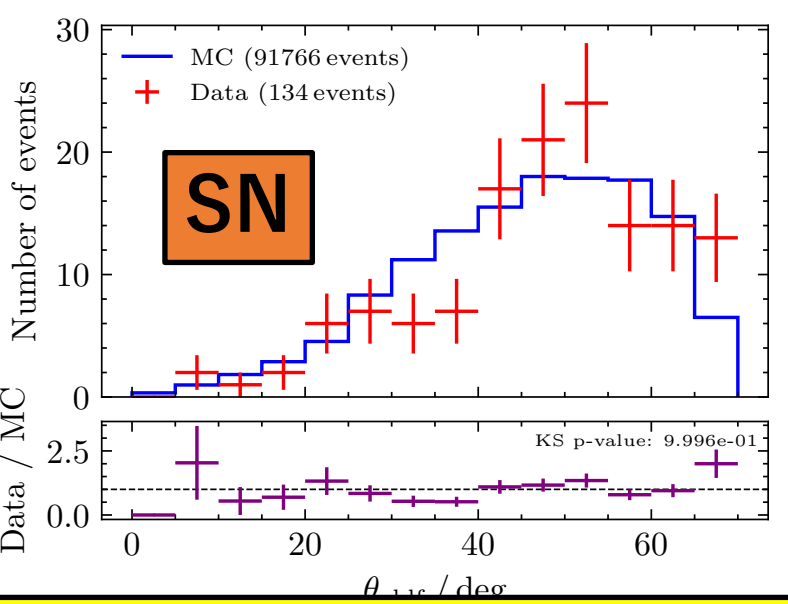
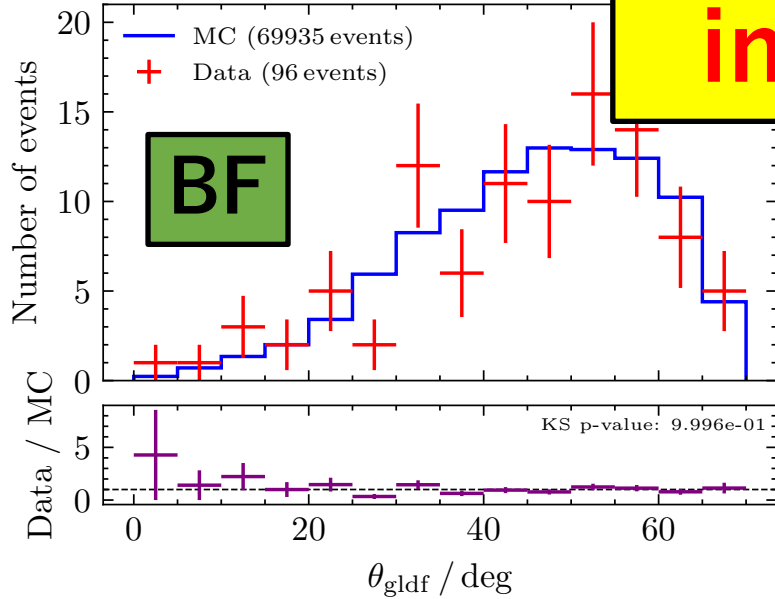
! DM has little events



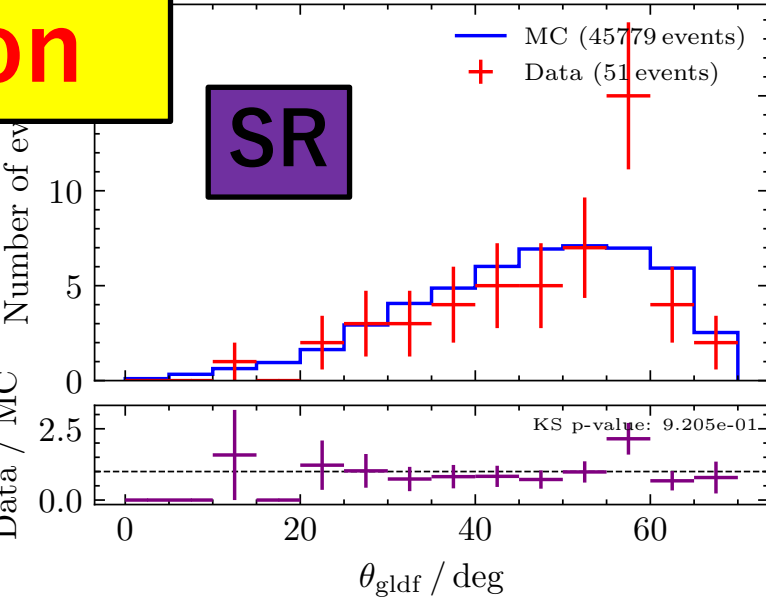
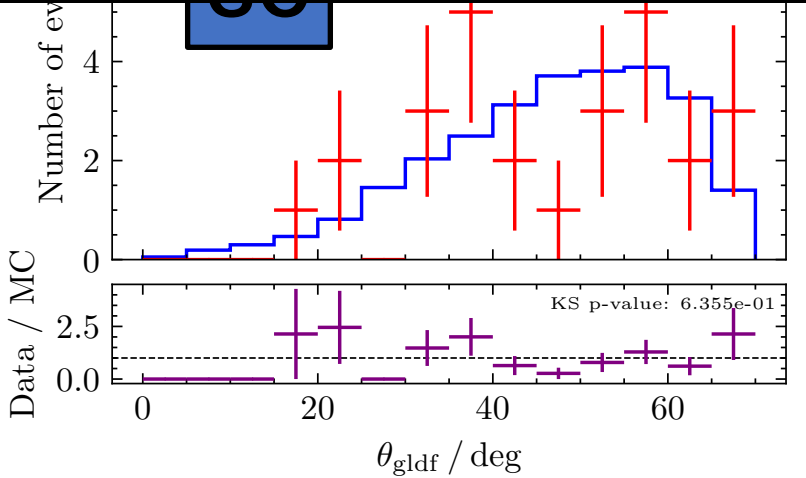
θ_{gldf}

Area normalize

NOT scaled energy



! DM has little events



Energy spectrum

Flux

$$J_i = \frac{\sum_{\text{sub-arrays}} \frac{(N_{\text{rec}}^{\text{Data}})_i}{\Delta E_i}}{\sum_{\text{sub-arrays}} \left[\frac{(N_{\text{rec}}^{\text{MC}})_i}{(N_{\text{gen}}^{\text{MC}})_i} A_{\text{gen}} \Omega_{\text{gen}} T \right]}$$

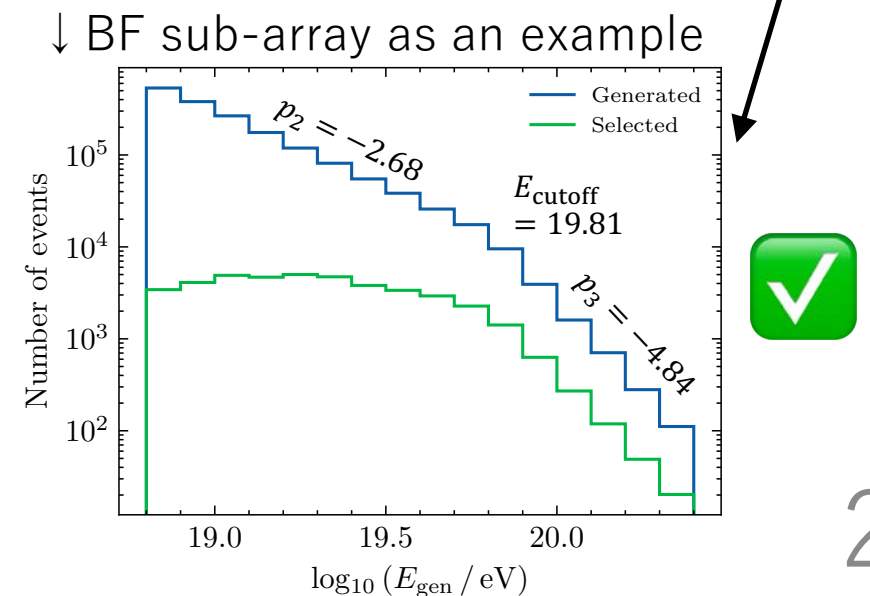
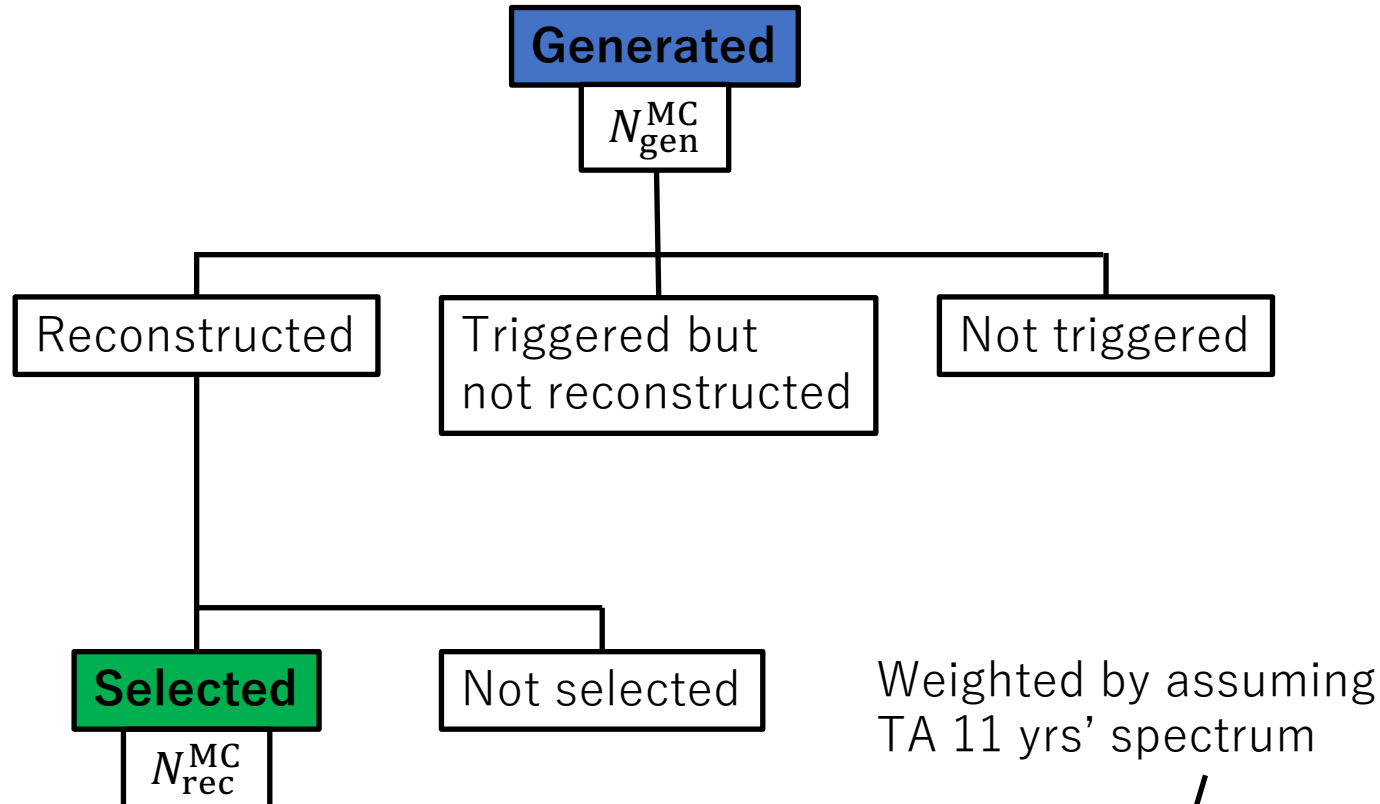
Aperture
 Effective aperture
 Exposure
 Effective exposure

$$\varepsilon_i(E_{\text{gen}}) = \frac{(N_{\text{rec}}^{\text{MC}}(E_{\text{gen}}))_i}{(N_{\text{gen}}^{\text{MC}}(E_{\text{gen}}))_i}$$

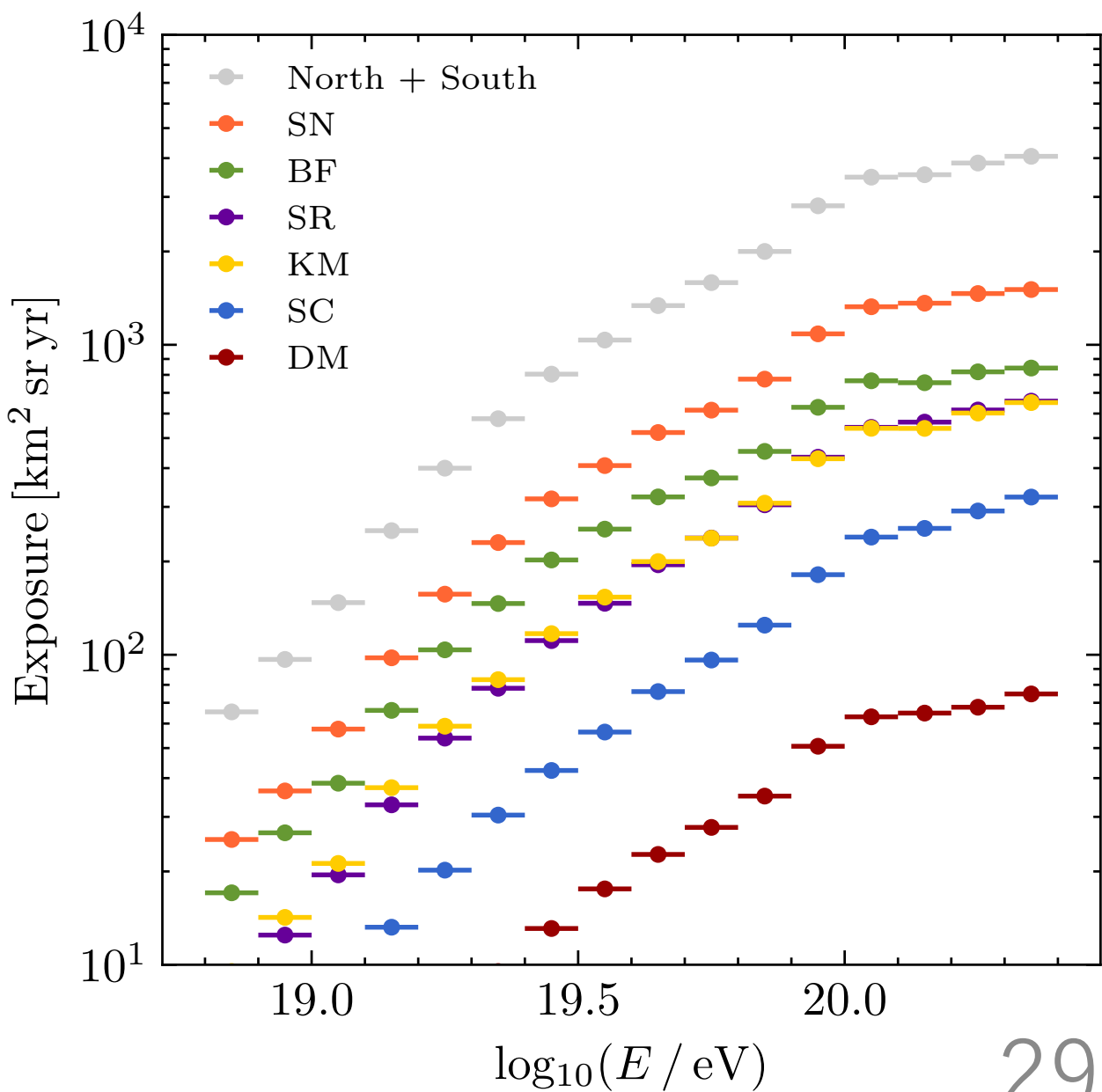
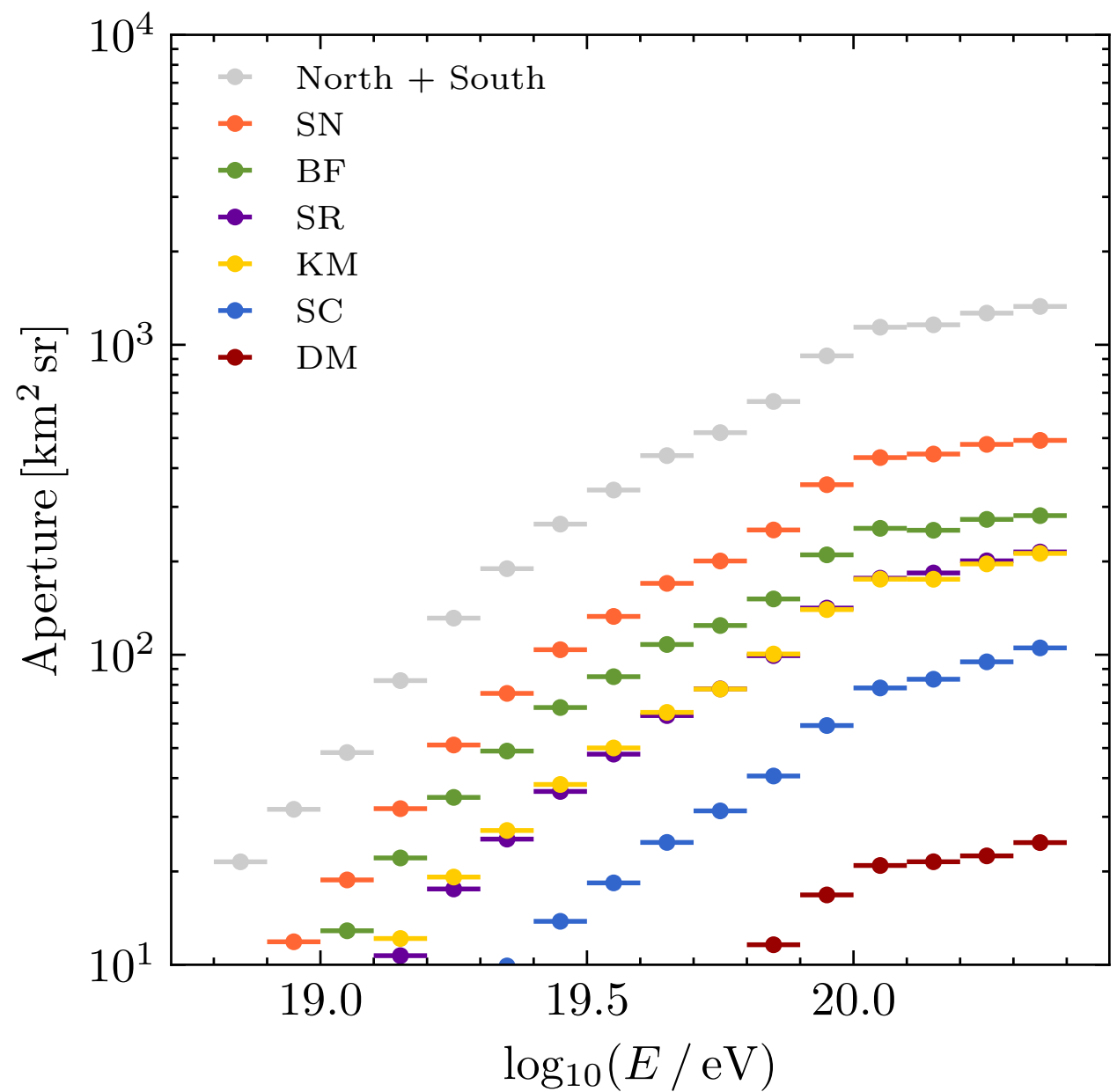
Reconstruction efficiency

$$\varepsilon_i(E_{\text{gen}}, E_{\text{rec}}) = \frac{(N_{\text{rec}}^{\text{MC}}(E_{\text{rec}}))_i}{(N_{\text{gen}}^{\text{MC}}(E_{\text{gen}}))_i}$$

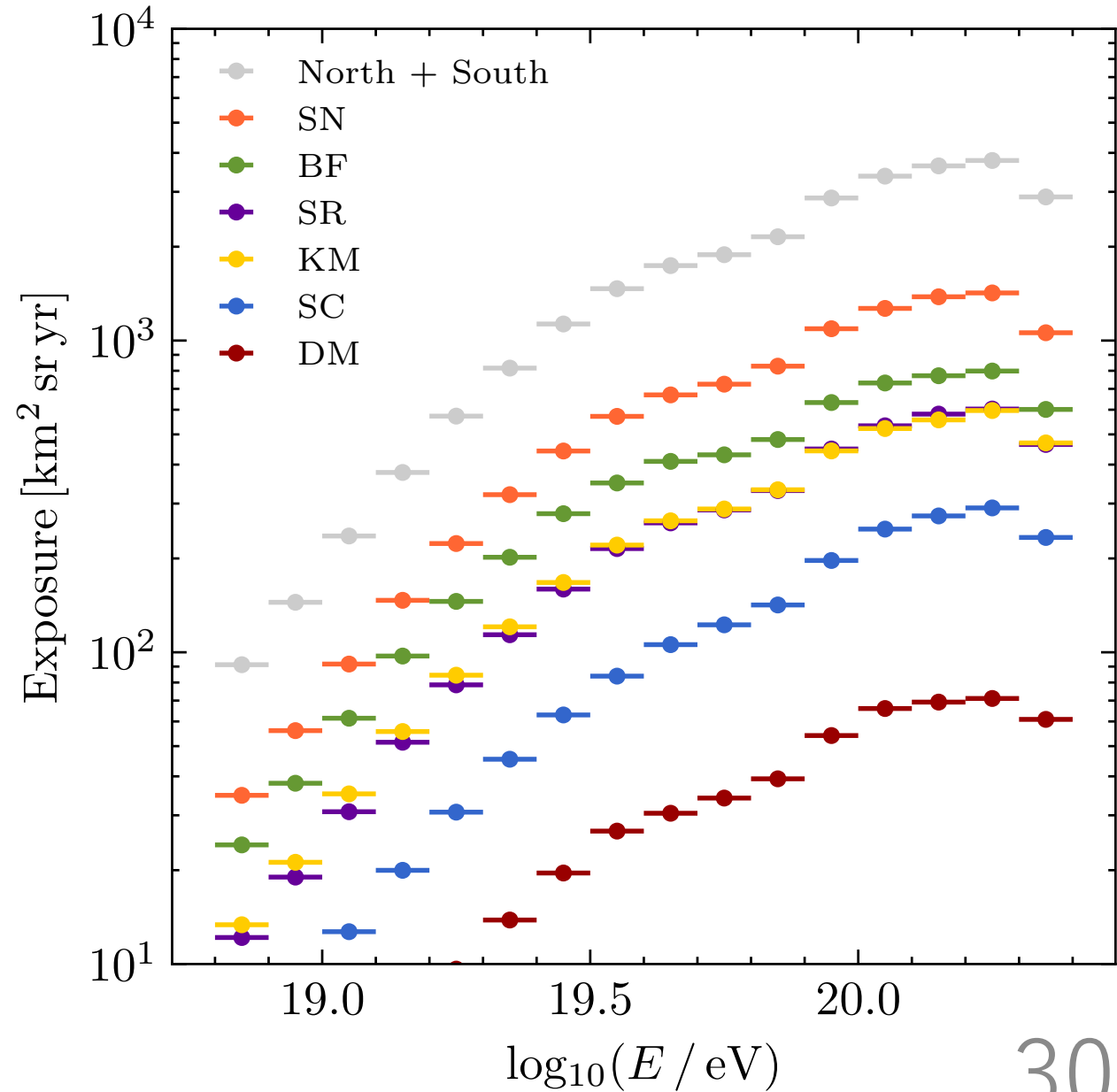
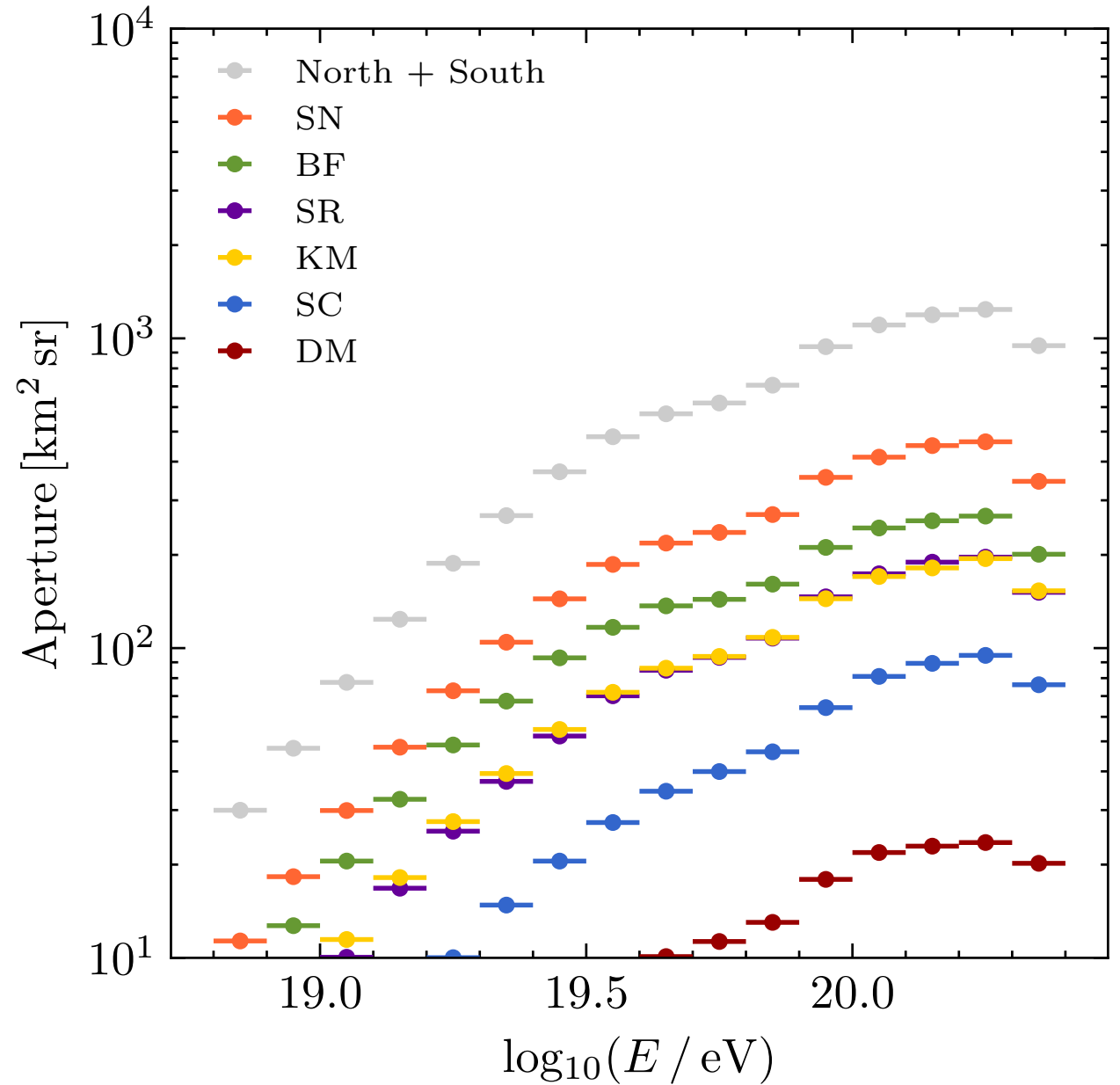
Reconstruction efficiency corrected for bin-bin migration



TAX4 SD Aperture & Exposure (original)

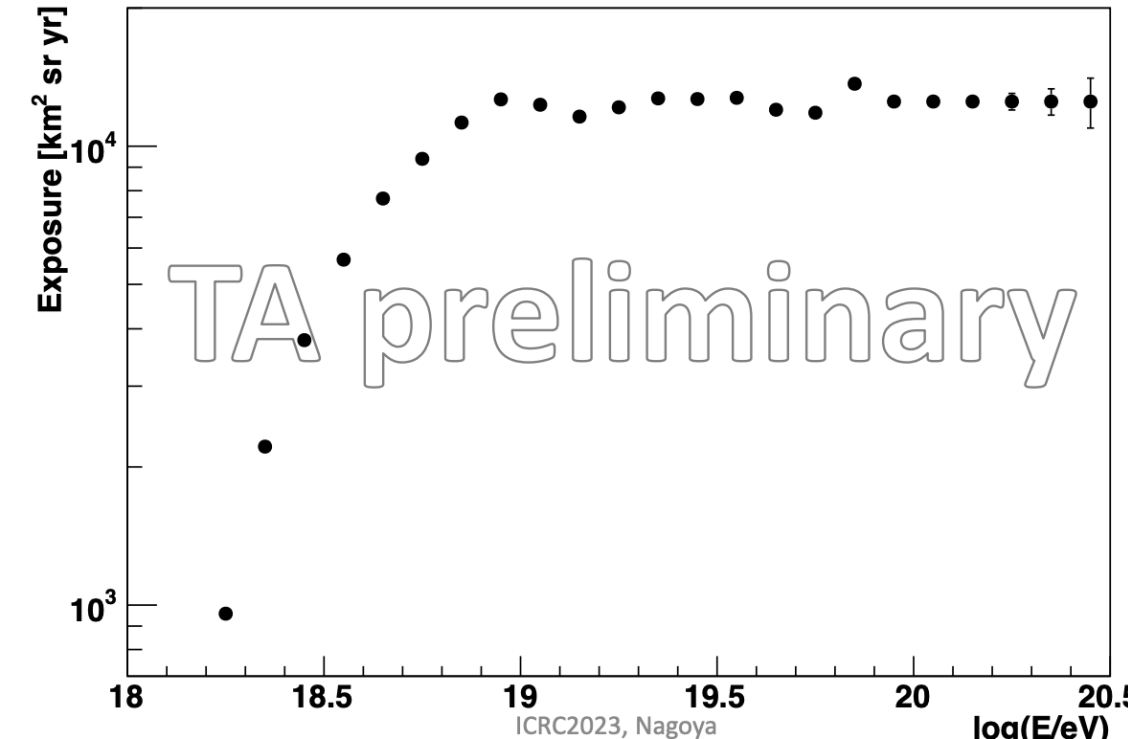


TAX4 SD Aperture & Exposure (this work)



TA SD Exposure & Spectra

14 years TA SD Exposure



TA SD Spectra

